

# EXPLOITER/ INTERPRETER LES DONNEES ECHANTILLONNAGE INTEGRATIF PASSIF EIP







#### Des journées de sensibilisation : Pourquoi ?

#### **OBJECTIFS GENERAUX**

Préparer l'ensemble des opérateurs impliqués dans la surveillance à la mise en œuvre EIP

Construire les formations de demain









# Les intervenants AQUAREF

- Jean-Philippe GHESTEM \_ BRGM
- Jean-Louis GONZALEZ \_ IFREMER
- ➤ Sophie LARDY-FONTAN \_ LNE
- Baptiste MATHON \_ Irstea
- ➤ Anne TOGOLA \_ BRGM
- ➤ Ian ALLAN \_IFREMER-NIVA
- ➤ Aymeric DABRIN\_ Irstea









#### AQUAREF, laboratoire national de référence pour la surveillance des milieux aquatiques

#### Consortium scientifique et technique, laboratoire « sans murs » créé en 2007



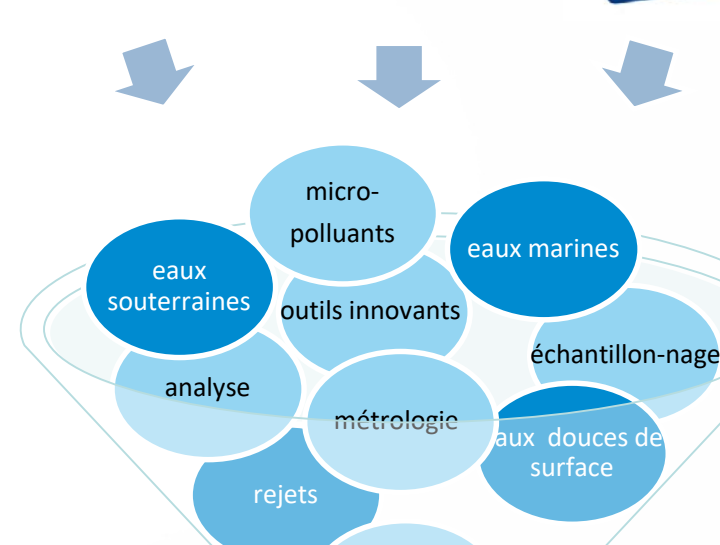
- Expertise au service de la pertinence et de la qualité de la donnée de surveillance chimique et biologique, dans le cadre des programmes de surveillance, en appui de la politique nationale
  - Élaborer des méthodes relatives aux processus de mesure, de prélèvement et d'analyse
  - > Constituer une force de proposition pour l'anticipation de la surveillance
  - Représenter la France dans des groupes d'experts européens (dont normalisation)
- Soutien du MTES et de l'AFB













expertise partagée

hydro biologie





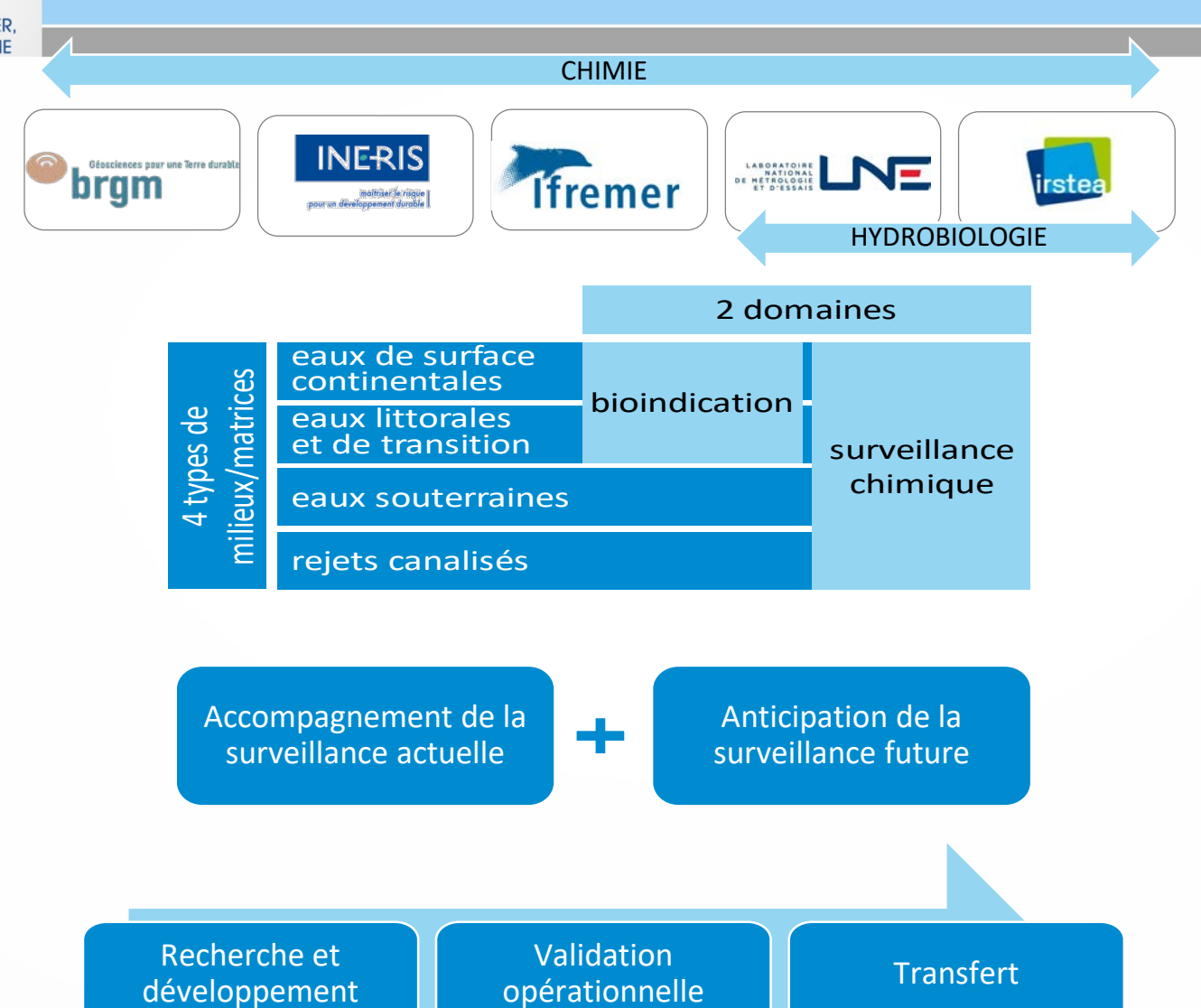








#### 5 établissements complémentaires











# Des activités à l'interface entre les acteurs de la surveillance











### Groupe AQUAREF mobilisé dans le cadre de la surveillance prospective

# Evaluation de la pertinence des échantillonneurs intégratifs passifs (EIP) pour la surveillance réglementaire des milieux aquatiques

<u>1ère action</u>: Démontrer in situ l'intérêt de déployer des EIP pour la surveillance dans les milieux aquatiques de substances réglementées (avec NQE<sub>eau</sub>);

<u>2ème</u> action: Organiser les principes d'une surveillance EIP de la qualité chimique des masses d'eau notamment en sensibilisant les acteurs de la surveillance aux EIP classiques.

Cette démonstration *in situ* bénéficie aujourd'hui de la dynamique de mise en place du réseau de surveillance prospective

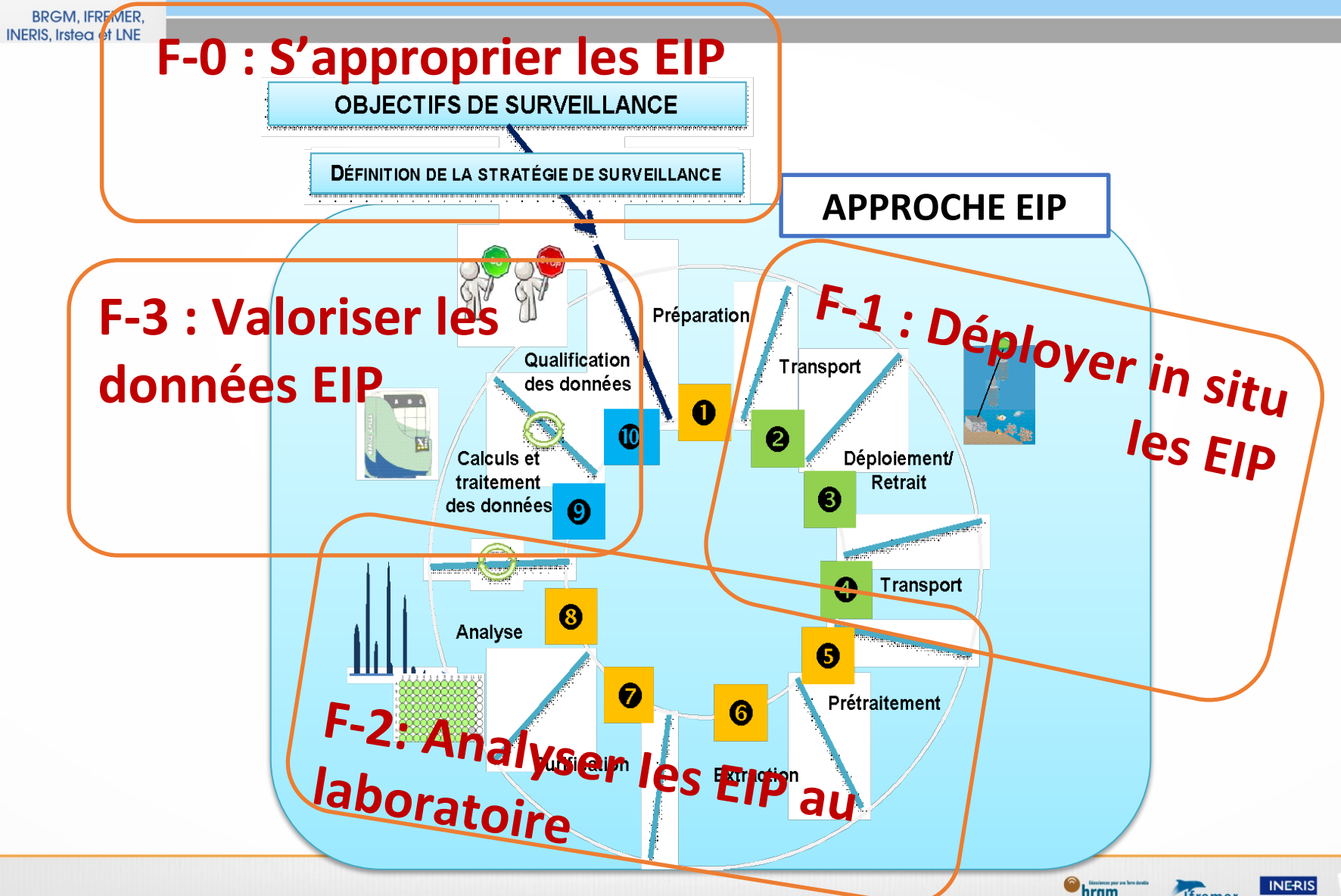






Thuman Marie

scientifique









- Emettre un avis critique sur la pertinence des données EIP et des contrôles qualité associés
- Estimer les concentrations moyennes intégrées à l'aide d'EIP

# Alternance de théorie et d'exercices pratiques

#### Bien noter que :

- "Formation pilote"
- ☐ Votre retour est souhaité











# Petite synthèse: **EIP pour surveillance**













#### ➤ Un enjeu de "connaissance"

- ✓ Evaluer « au plus vrai » la qualité des masses d'eaux, l'Etat Chimique
- ✓ Obtenir un échantillonnage plus représentatif (dans le temps)
- ✓ Fréquences de détection/substances majoritaires (cartographier les pressions)
- ✓ Suivi de tendance, amélioration de la qualité après mise en œuvre de mesures correctives

### **▶** Un enjeu du rapportage de l'Etat Chimique et Ecologique

- ✓ Atteindre les limites de quantification (LQ) acceptables (suivant les exigences de la directive européenne 2009/90/CE, dite «QAQC»)
- → Capacité à répondre aux exigences réglementaires relatives aux Normes de Qualité Environnementale (NQE moyenne annuelle)?
- ✓ NQE concentration maximale admissible non applicable avec les échantillonneurs passifs





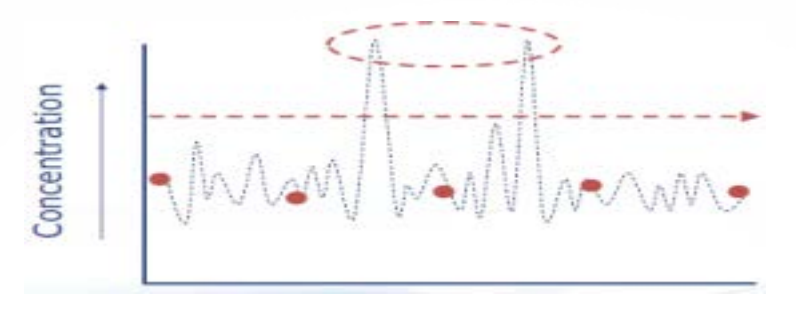




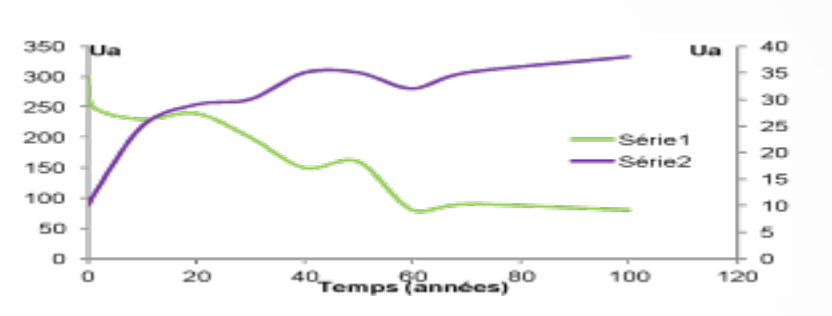
#### Les différentes applications possibles des EIP



Supports alternatifs de surveillance de la qualité des milieux



Suivi de la qualité des milieux (échelle de temps courte)



Evaluation de tendances (échelle de temps moyenne)

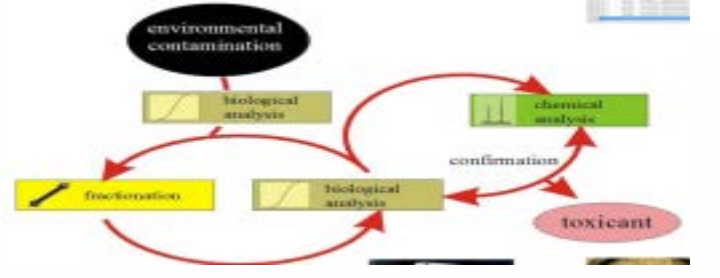
#### EIP

#### O composés organiques



Screening Analyse prospective

#### composés inorganiques



**Evaluation des risques** 



Specimen Banking **Analyse rétrospective** 











#### Principaux avantages/intérêts EIP pour la surveillance

- ☐ Echantillonnage dans des endroits éloignés
- □ Evite l'échantillonnage de grands volumes d'eau ⇒ □ coûts pour le transport et le stockage
- □ □ LQ/LD ⇒ si présence avérée :
  - Développement d'approche analytique spécifique
  - Nouveau support de surveillance : biote
- □ ↗ stabilité des composés ➡ stockage prolongé dans des conditions contrôlées, analyse en batch, banque d'échantillons
- □ 7 qualité de l'information : diminution de l'influence contamination blanc, meilleure représentativité



Amélioration qualité surveillance









#### Principaux avantages/intérêts EIP pour la surveillance

- ☐ Evaluer la présence ou l'absence de substances en conjonction avec le contrôle d'enquête
- ☐ Suivi en tendance
- ☐ Identification des sources de pollution : sources intermittentes ou extrêmement faibles



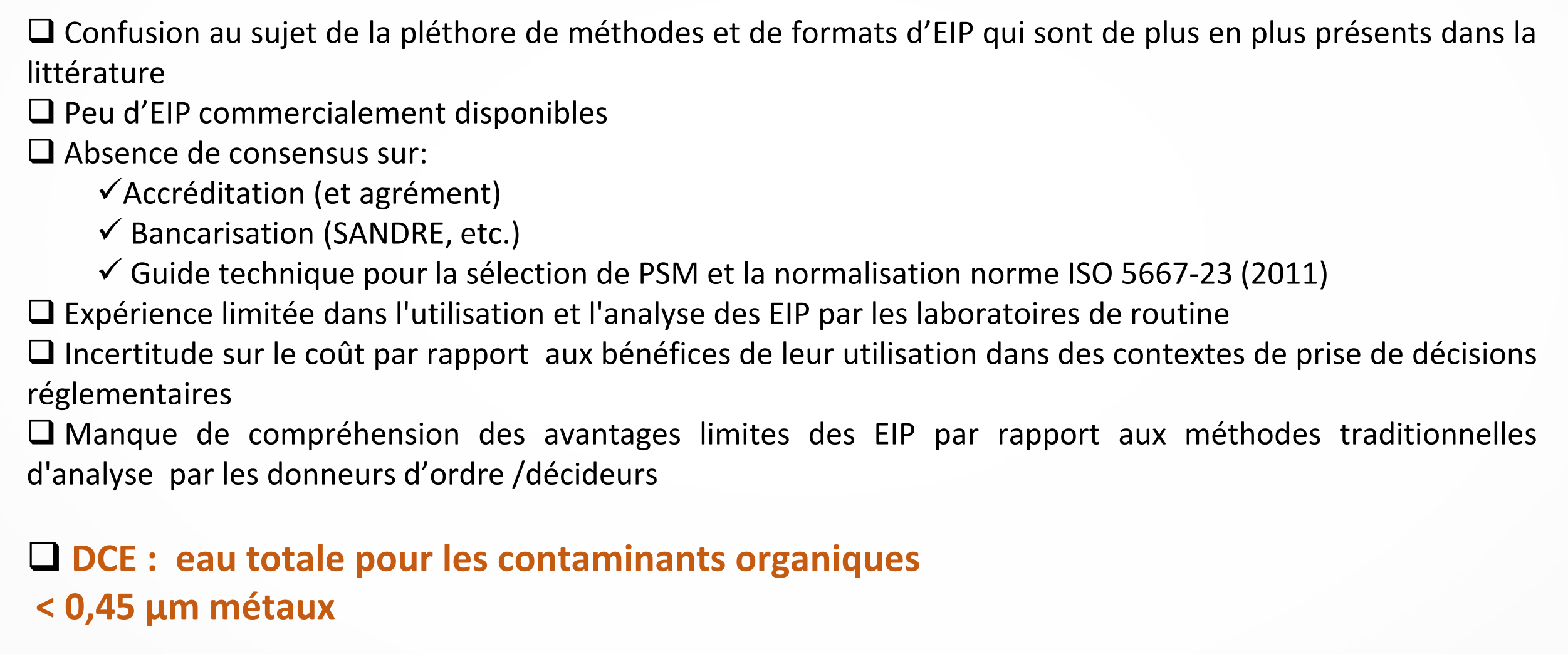
Informations complémentaires permettant d'améliorer les programmes de mesures (POM) mis en œuvre dans les plans de gestion des bassins hydrographiques







# Principaux obstacles à l'acceptation et l'utilisation des EIP dans la réglementation











# Les grands principes théoriques de l'échantillonnage intégratif passif





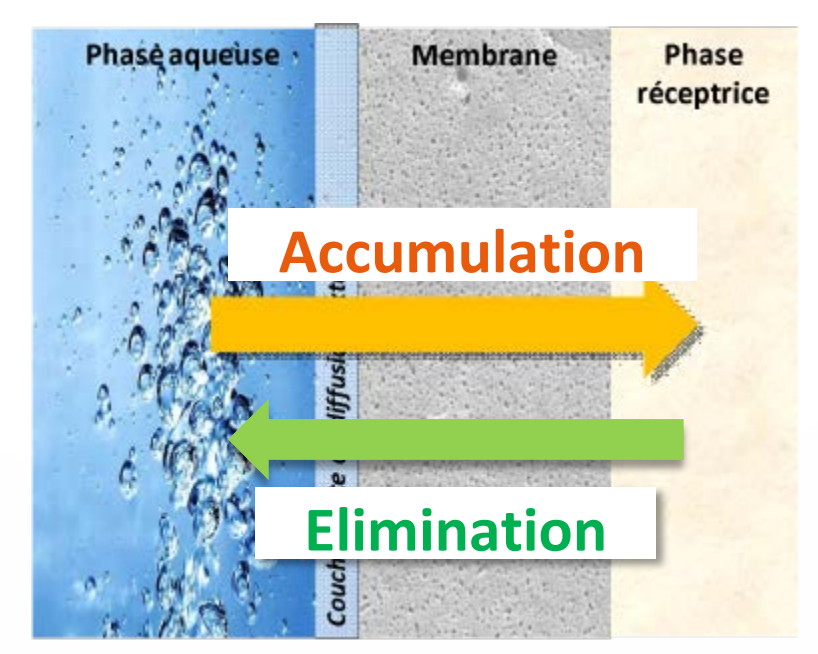


### Qu'est-ce qu'un échantillonneur intégratif passif (EIP)

> Outils, généralement de petite dimension, qui permettent d'obtenir une concentration en contaminant "intégrée" dans le temps, c'est-à-dire moyennée sur la durée d'exposition

> Ils sont exposés dans le milieu à échantillonner de quelques jours à quelques mois puis

analysés en laboratoire.



> Aussi communément appelés "échantillonneurs passifs" car l'échantillonnage se fait par diffusion chimique passive, i.e. sans apport d'énergie











#### **POCIS**

#### $0 \le \log Kow \le 4$



- -> Pesticides polaires (atrazine, isoproturon, terbutryne, ...)
- -> Hormones (estrone, 17-alpha-ethinylestradiol, 17-bêtaestradiol,...)
- -> Pharmaceutiques (diclofénac, sulfaméthoxazole, kétoprofène, ...)
- -> Alkyphénols (nonylphénols, octyphénols, ...)
- -> Organophosphorés (diméthoate, ...)

#### DGT



- -> Métaux et métalloïdes (cadmium, plomb, nickel, chrome, cuivre, zinc ...)
- -> Arsenic (DGT spécifique)
- -> Mercure

#### Membrane silicone $3 \le \log Kow \le 10$



- -> Pesticides organophosphorés, organochlorés (chlorfenvinphos, DDT, endosulfan, heptachlore, ...)
- -> Organométalliques (composés du tributylétain)
- -> HAPs (anthracène, fluoranthène, naphtalène, ...)
- -> PCBs (polychlorobiphényle 101, 118, 138, ...)





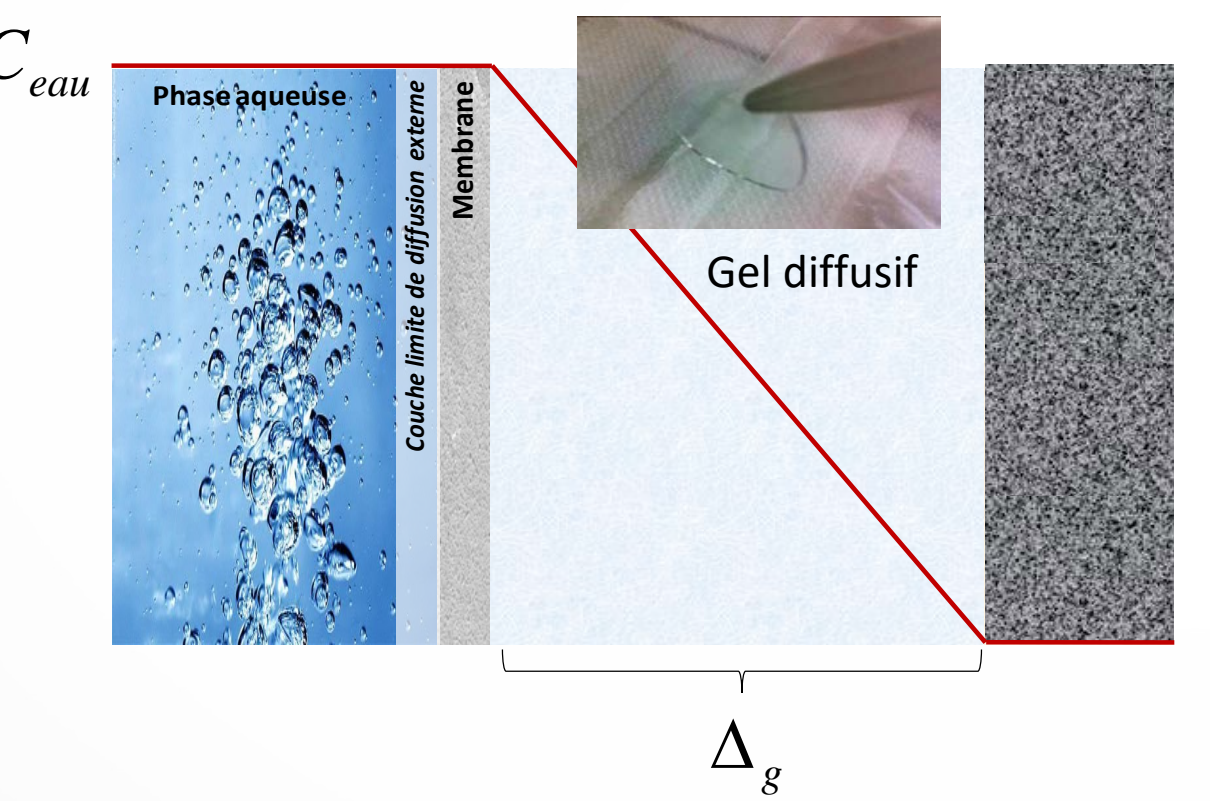








# DGT® Diffusive gradients in thin films



$$C_{eau} = \frac{\mathsf{M}_{\mathrm{s(t)}}.\,\Delta_{\mathrm{g}}}{D_{g}.\,A.\,t}$$

 $\mathbf{C}_{eau}$  concentration dissoute dans l'eau  $\mathbf{M}_{s(t)}$  quantité accumulée après durée t  $\mathbf{\Delta}_{g}$  épaisseur gel diffusif  $\mathbf{D}_{g}$  constante de diffusion métal dans le

A surface d'échange/aire exposée

gel

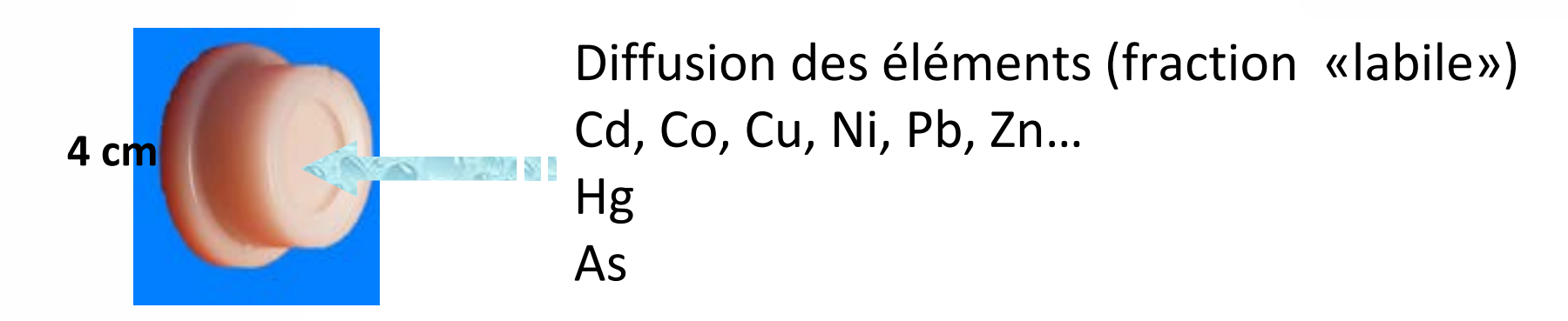






#### Des EIP pour les micropolluants métalliques

# DGT® Diffusive gradients in thin films



- > Différents DGT : phases réceptrices spécifiques aux différents éléments
- > 2 types de gel de porosité différentes mais le plus générique est open pore

Zhang & Davison, Anal Chem (1995)









#### **DGT**®

#### Diffusive gradients in thin films

## **Avantages**

- > Commercialement disponibles
- > Procédures standardisées, fichiers de calculs, constantes disponibles
- > Modèle simple et robuste, outil quantitatif

#### Limites

- Différentes configurations :
  - ✓ Au niveau de la porosité (impact fraction échantillonnée)
  - ✓ Au niveau de la phase réceptrice (spécifique cations, mercure, arsenic...)
- > Constantes disponibles pour un nombre restreint d'éléments
- > Fraction échantillonnée non DCE compatible (fraction «labile»)

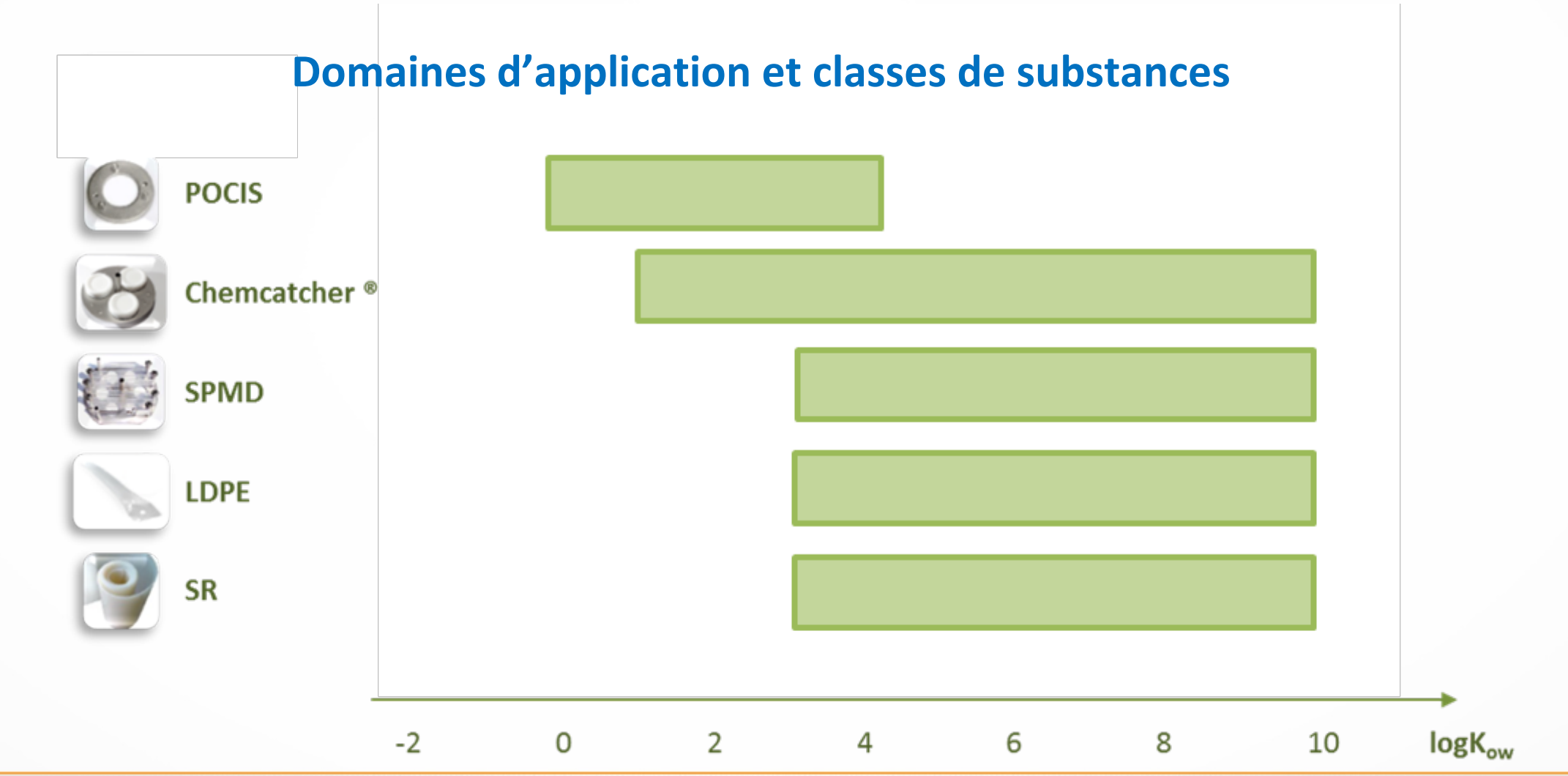








## Des EIP pour les micropolluants organiques





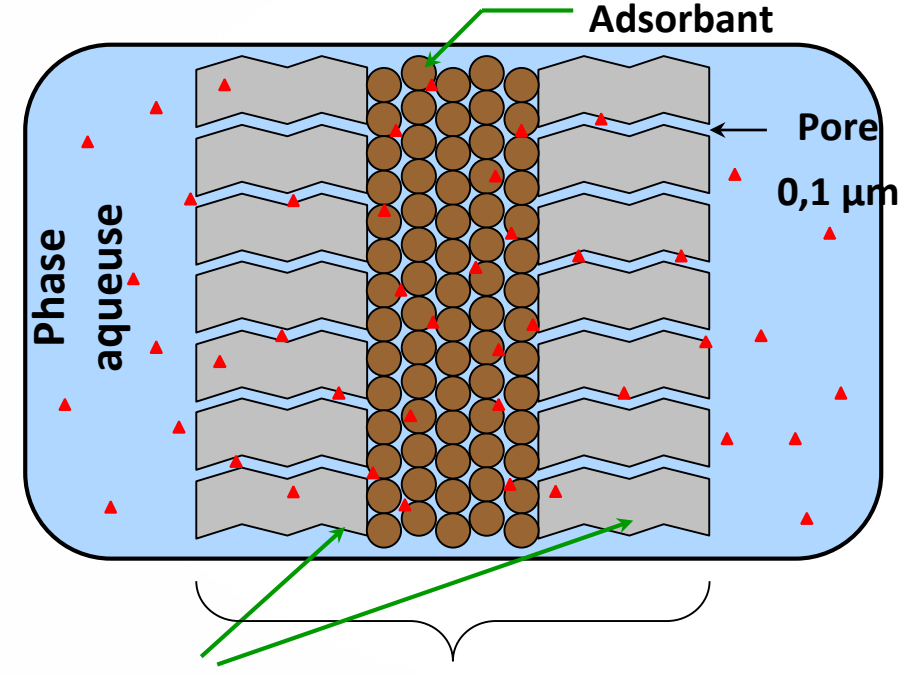




#### Des EIP pour les micropolluants organiques hydrophiles

#### **Polar Organic Chemical Integrative Sampler (POCIS)**

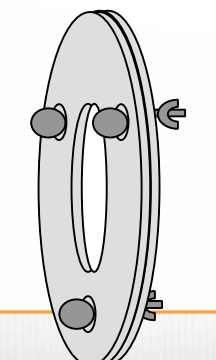
#### Développé par US Geological Survey



Membranes

Épaisseur ~ 130 μm

Taille de pores ~ 0,1 μm



Utilisés dans les programmes de surveillance par US E.P.A et en Europe (GB,...)

Alvarez et al., ETC (2004)











#### Des EIP pour les micropolluants organiques hydrophiles

#### **POCIS**®

## **Polar Organic Chemical Integrative Sampler**

✓ Dispositifs commercialement disponibles ("PHARM", "PEST", "Glyphosate")



#### **≻Limites**

- √Procédures "standardisées," fichiers de calculs, constantes ⇒ plus ou moins disponibles
- √Modèles cinétiques et domaine d'application définis de façon empirique à ce stade (et cinétique composé-dépendante)
- √Outils encore considérés comme semi-quantitatifs
- √Fraction échantillonnée non strictement DCE compatible (≈ Substances hydrophiles, principalement présentes en phase dissoute)









#### Semi-permable membrane device (SPMD):

#### Système biphasique

- ✓ Dispositif développé par l'USGS (Huckins et al., 1993)
- ✓ Fragilité pour manipulation et exposition « in situ »
- ✓ Complexité des modèles cinétiques du fait de la conception biphasique de l'outil (membrane polyéthylène renfermant de la trioléine), purification/élimination de la trioléine,...)



## Développement de systèmes monophasiques

#### Type membrane polyéthylène ou silicone

- ✓ Facilité de manipulation, de préparation
- ✓ Modèles cinétiques plus simples et plus robustes
- ✓ Non commercialement disponible mais le plus utilisé/étudié par les équipes de recherche en Europe











## Des EIP pour les micropolluants organiques hydrophobes

	SPMD	Membrane silicone
Avantages	✓Commercialement disponibles	√Manipulation aisée
	√Procédures "standardisées", fichiers de calculs, constantes disponibles	√Modèles cinétiques robustes, constantes disponibles
	√Déployés depuis 20 ans par l'EPA	√Existence de CIL
Limites	√Fiabilité des modèles cinétiques remise en cause	√Variabilité des matériaux (nombreux fournisseurs)
	√Fragilité pour manipulation et exposition « in situ »	✓Constantes disponibles pour un nombre restreint de substances
	√"Sélectivité" du polyéthylène	✓Préparation avant déploiement complexe
	✓Etapes de purifications complexes	✓Procédures et fichiers de calculs à
	√Fraction échantillonnée non DCE	"standardiser "
	compatible	✓ Fraction échantillonnée non DCE
		compatible



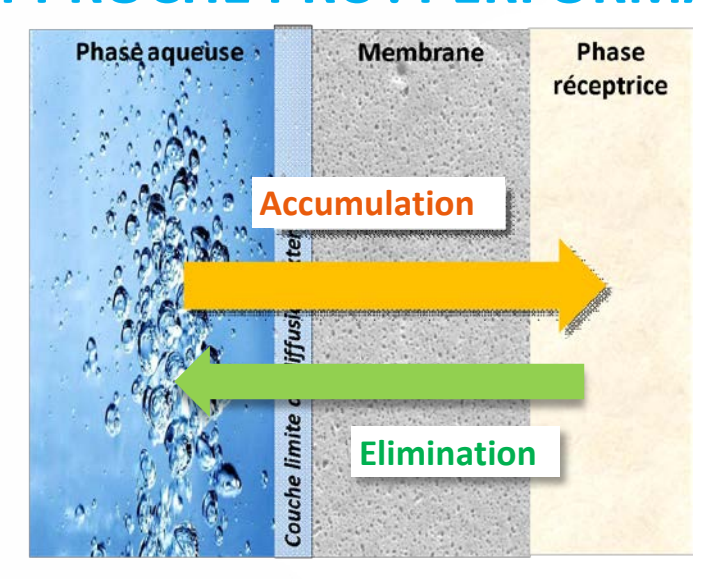






### Des EIP pour les micropolluants organiques hydrophobes

#### **APPROCHE PRC: PERFORMANCE REFERENCE COMPOUND**



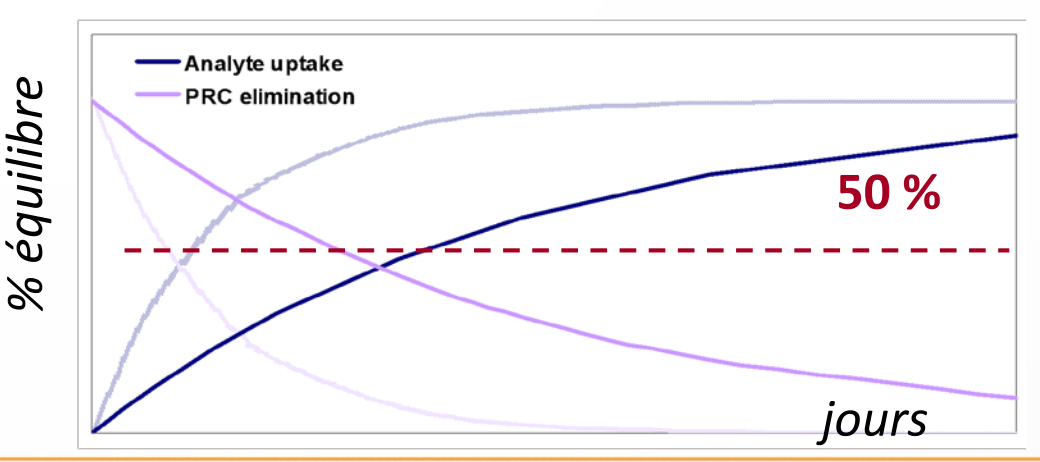
Phase aqueuse

Accumulation

Elimination

▶PRC ≈ étalons internes de la phase d'échantillonnage, absents du milieu et "analogues" aux composés accumulés

⇒ Le taux d'élimination va permettre de **recalculer** *R*, *in situ* 





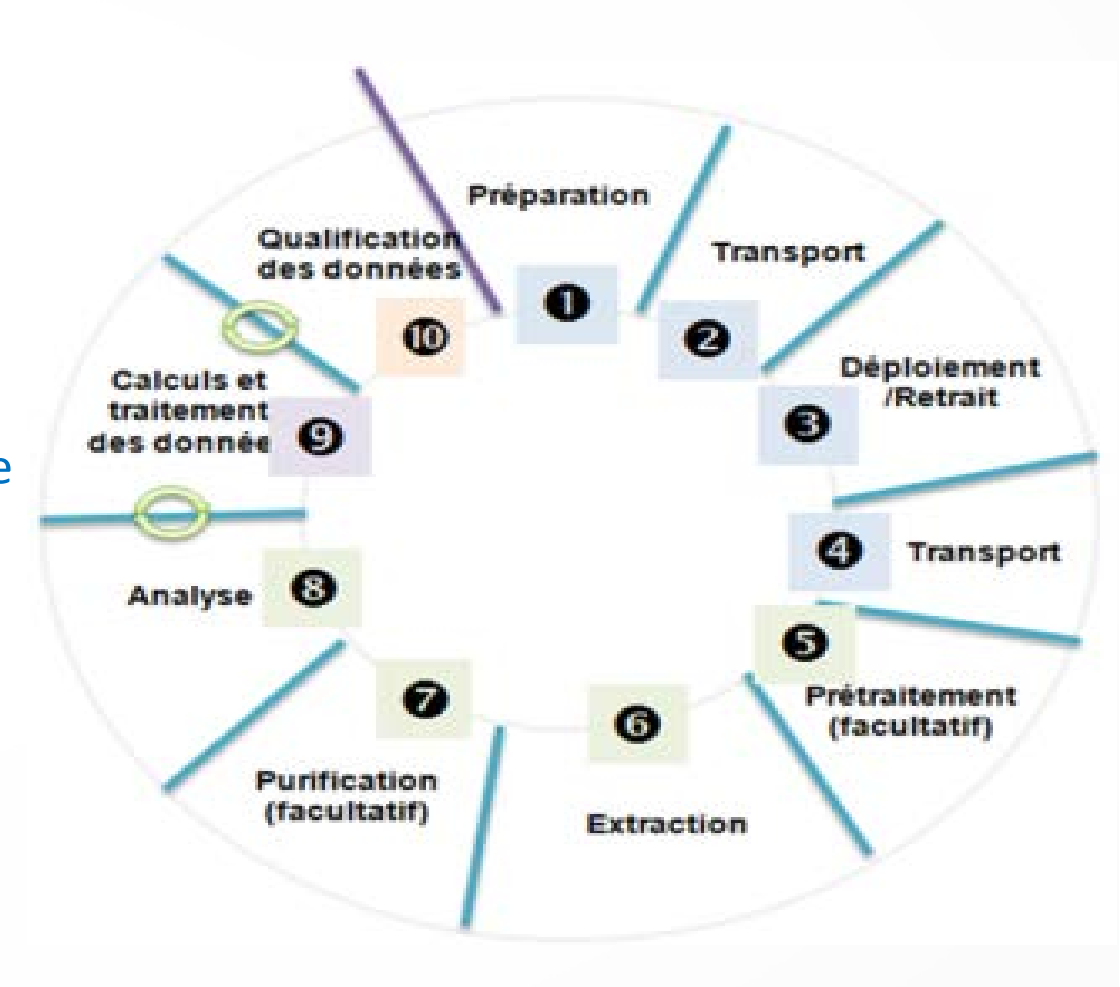








- Organisation légèrement différente des mesures par échantillonnage ponctuel
  - ✓ Le résultat nécessite des données issues :
    - ✓ Du laboratoire : quantité dans l'outil
    - ✓ Du terrain : période d'exposition, température, ...
- ➤ Nécessité d'une coordination, communication, renforcée entre les différents acteurs
  - ✓ Notamment dans une période de démarrage de ce type de surveillance
- ➤ Proche dans l'organisation de la chaine de mesure pour la surveillance de l'air









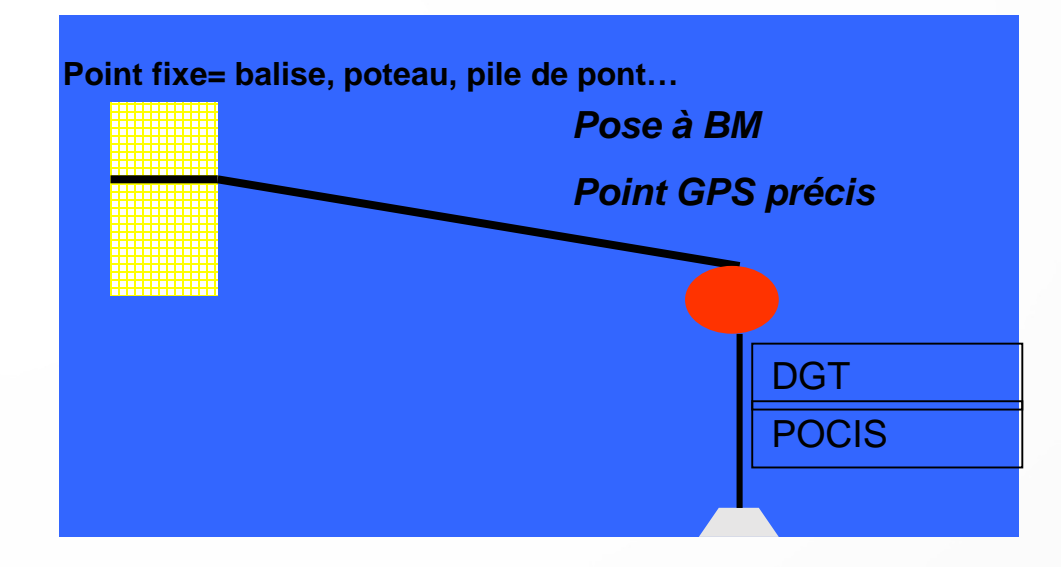
## Quelques illustrations de déploiement en milieu marin



















## Quelques illustrations de déploiement en milieu continental

© Irstea



Eaux de surface



© Irstea















## Phases en laboratoire: avant et après déploiement, transport Généralités

- Adaptation pour les laboratoires variables selon les EIP considérés et les substances
  - Pas de normes spécifiques

#### **POCIS**

- ✓ Principe de l'extraction en phase solide déjà maitrisé par les laboratoires
- ✓ Analyse conventionnelle pour les laboratoires
- ✓ Vigilance sur les effets matriciels et l'usage d'étalons internes

#### > DGT

- ✓ Principe de l'analyse déjà maitrisé dans les laboratoires (ICP/MS)
- ✓ Extraction simple mais peu pratiquée

#### **≻**Membranes

- ✓ Nécessitera le plus d'adaptation par les laboratoires
- √ Nécessite des étapes de préparation avant déploiement complexes
- ✓ Processus d'extraction et de purifications longs et fastidieux,
- ✓ Vigilance : PRC vs Etalons internes

Besoin d'adaptation











# Contrôles qualité







- > Enjeux communs à ceux de l'analyse conventionnelle
  - Conditionne l'exploitabilité et la qualité des données
- ➤ Mettre en place les bonnes pratiques au niveau prélèvement et analyse laboratoire telles que définies dans les normes ou les guides AQUAREF
- Outils QC : Blancs, Réplicats, Contrôles positifs, Contrôles externes de la qualité
   Certains points spécifiques EIP



A dimensionner selon

- ✓ Risques substance/EIP
- √ Objectifs de l'étude



A intégrer dès la conception initiale de l'étude









#### Préparation du dispositif

**Stockage** 

**Transport (Envoi)** 

Déploiement

**Exposition (durée t)** 

Récupération

Stockage

**Transport (Envoi)** 

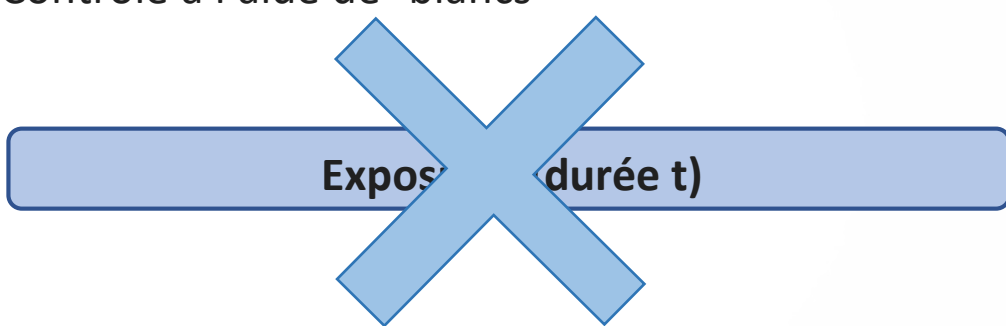
Stockage \*

Démontage et élution\*

Analyse \*

#### > Contamination des dispositifs

Contrôle à l'aide de "blancs"



Eviter le contact avec les membranes et la phase réceptrice. Réduire le temps d'exposition à l'atmosphère

Stockage en containeurs étanches à l'abri des sources potentielles de contamination

Isoler les échantillonneurs les uns des autres lors du transport et du stockage









Préparation du dispositif \*

Stockage \*

Transport (Envoi) \*

Déploiement

**Exposition (durée t)** 

Récupération

Stockage

**Transport (Envoi)** 

Stockage \*

Démontage et élution\*

Analyse \*

➤ Variabilité/maîtrise des processus

Contrôle à l'aide de "réplicats": différents niveaux de replicats / enjeux

Réplicats systématiques : à minima double, idéalement 3

Réplicats: points à affiner suite

Réplicats: points à affiner suite

demonstration national

démonstration national

Réplicats = CQ laboratoire sur des témoins positifs











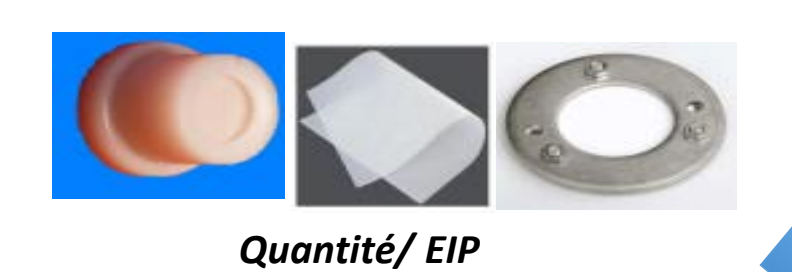
# De la mesure dans l'outil à l'estimation de la concentration milieu











EQUATION/CAICUI

Concentration milieu estimée **Concentration** Concentration moyenne intégrée ug/L









#### Pré-requis

- ✓ Suppose une accumulation de la substance unidirectionnelle, linéaire, intégrative pendant l'ensemble de la période de déploiement
- ✓ Dans la phase linéaire d'accumulation, le volume d'eau «échantillonné» pour une substance donnée par unité de temps est indépendant de la concentration de cette même substance dans l'eau

#### ➤ Pour chaque substance:

- √ En général, un paramètre d'étalonnage spécifique au type d'outil et au site
- → Obtenu de différentes manières, en fonction du type d'EIP, des conditions d'échantillonnage et de déploiement
- ✓ Une valeur spécifique à la substance en fonction de ses propriétés physicochimiques et des variables environnementales telles que la température de l'eau et les conditions hydrodynamiques
- > Certains outils peuvent utiliser des composés de référence de performance (PRCs) pour corriger le coefficient global de transfert de masse pour les fluctuations des conditions environnementales







Vers un système harmonisé et structuré pour garantir et l'exploitabilité des données EIP











- > Des discussions en cours avec le SANDRE pour définir les formats d'échanges de données
- > Une réfléxion nationale sur les données à bancariser









- ➤ Des discussions en cours avec le COFRAC
- ➤ Une réfléxion nationale sur les besoins d'accréditation en lien avec besoins de la surveillance









- ➤ Norme ISO 5667-23:2011 : Qualité de l'eau -- Échantillonnage -- Partie 23: Lignes directrices pour l'échantillonnage passif dans les eaux de surface
  - ✓ Document très général
  - ✓ Divergence sur certains points avec positions AQUAREF
  - ✓ Peu utilisé ou consulté
  - ✓ Date de 2011
- ➤ "Méthode pour la mesure de concentration en métaux après échantillonnage passif par gradient diffusif en couche mince résine de type chélatante" lancement des actions en normalisation T91F, T91G et T 91E
  - □ norme échantillonnage+analyse+expression des résultats
- > En 2019, dans le cadre du RSP-EIP, AQUAREF produira
  - > Lignes directrices et recommandations pour les opérationnels (2018-2019) : REX des campagnes RSP-EIP
  - Guides de bonnes pratiques



- ✓ Révision des normes existantes
- ✓ Propositions de Fascicules Documentaires







#### Pour aller plus loin...





#### « mars 2015 » lun mar mer jeu ven sam dim 9 10 11 12 13 14 15

## 23 24 25 26 27 28 29

#### Espace réservé Nom d'utilisateur:\* Mot de passe : \* Se connecter

- □ Créer un nouveau compte
- □ Demander un nouveau mot de passe

#### Navigation

- Agenda □ Dernières contributions Nous contacter
- Plan du site

#### Recherche

- M Recherche
- Recherche thématique
- Rechercher une réunion

#### **LES INFOS**

#### AQUAREF

- Accédez en ligne au programme AQUAREF 2014
- AQUAREF: Bilan 2013
- · Séminaire AQUAREF du 19 juin 2013 : présentations disponibles ici
- · Liste des micropolluants recherchés dans le cadre de l'étude exploratoire 2012 : en savoir plus

#### Europe

- > Aout 2013 : Directive 2013/39/EU amendant les Directives 2000/60/EC and 2008/105/EC
- > rapport du JRC sur l'analyse des substances prioritaires

#### Formations

 Formation 2015 sur "Les opérations d'échantillonnage en eau souterraine dans le cadre de la surveillance au titre de la DCE" : en savoir plus

#### A PROPOS D'AQUAREF



AQUAREF, laboratoire national de référence pour la surveillan de la nécessité de renforcer l'expertise française dans le dom aquatiques à partir de la mise en réseau des compétences e cinq établissements publics directement concernés : BRGM, IFI

En savoir plus

#### Evènements à venir

· Aucun événement à venir disponible

#### Fiches substances validées

Nom.								Code 9	Sandre
4-(1,1',3,3'-tétraméthylbutyl)-phénol)						1959			
4-nonylphénol						5474			
Alachlore						1101			
1	2	3	4	5	6	7	8	9	

- programme de travail
- plus de 250 documents accessibles

Site internet www.aquaref.fr











# Calcul pour les Membranes silicone (SR)











- En règle générale, les membranes silicone sont utilisées pour les molécules hydrophobes (logK<sub>ow</sub> > 3)
- Principe basé sur l'utilisation de polymères ayant la capacité d'absorber les composés d'intérêt
- Les composés ont une plus grande solubilité dans le polymère que dans l'eau
- Cette affinité est explicitée par le coefficient de partage polymère-eau (Kpw):

$$K_{pw} = S_{Polymère}/S_{eau}$$
 (S= solubilité)

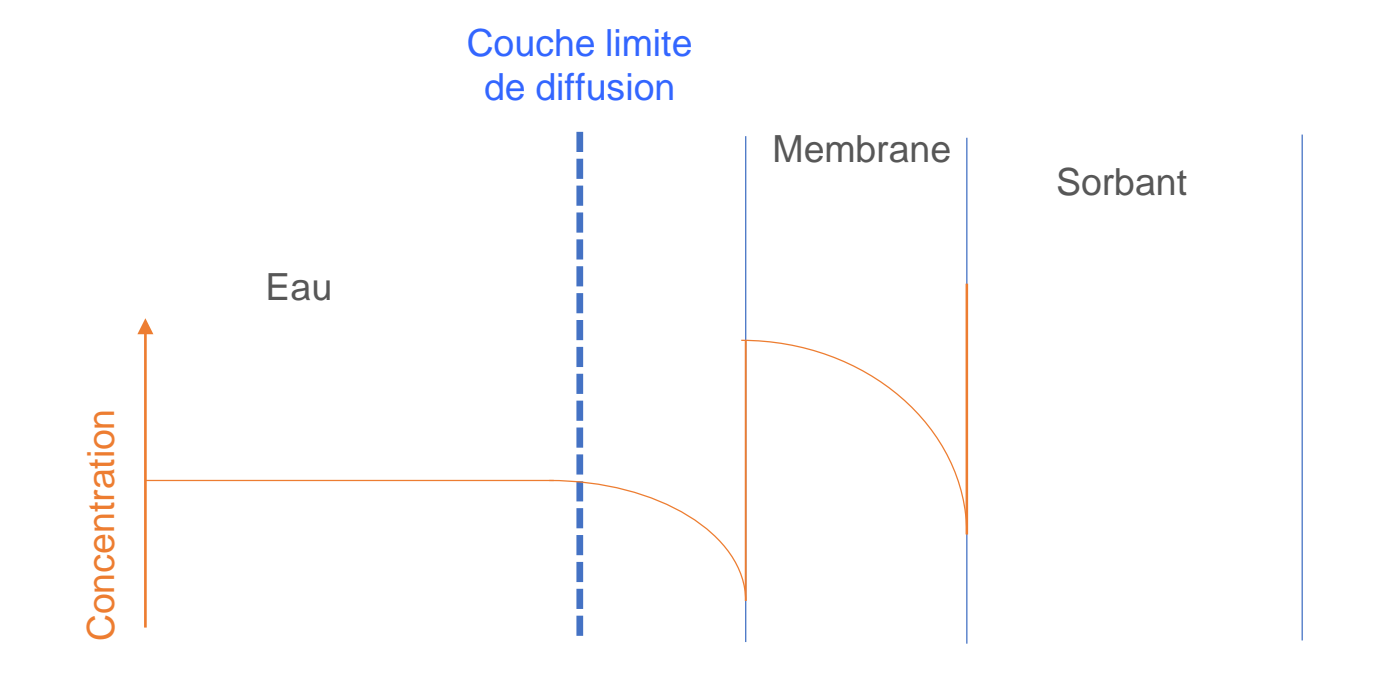






### Processus de sorption et diffusion qui contrôlent l'accumulation

#### Vision conceptuelle









Le mode de fonctionnement des outils étant basé sur l'absorption et la diffusion, il est possible de **modéliser** l'accumulation, afin d'identifier les facteurs physiques, mesurables (expérimentalement) permettant le calcul de concentration, des ng/g dans les membranes au ng/L dans l'eau







#### 1ère loi de diffusion de Fick:

Le flux d'une substance (J) entre deux points est proportionnel au gradient de concentration entre ces deux points:

$$J = k\Delta C$$

$$J = -D\frac{dC}{dx}$$

Avec:

J = flux de matière

D = coefficient de diffusion

dC/dx = gradient de concentration

k = coefficient de transfert de masse









#### • Le taux d'accumulation $R_s$ est proportionnel à $k_o$ tel que

$$R_s = Ak_o$$

 $k_{\rm O}$  = Le coefficient de transfert de masse global (m s<sup>-1</sup>)

• Modèle additif de résistances au transfert de masse pendant l'accumulation :

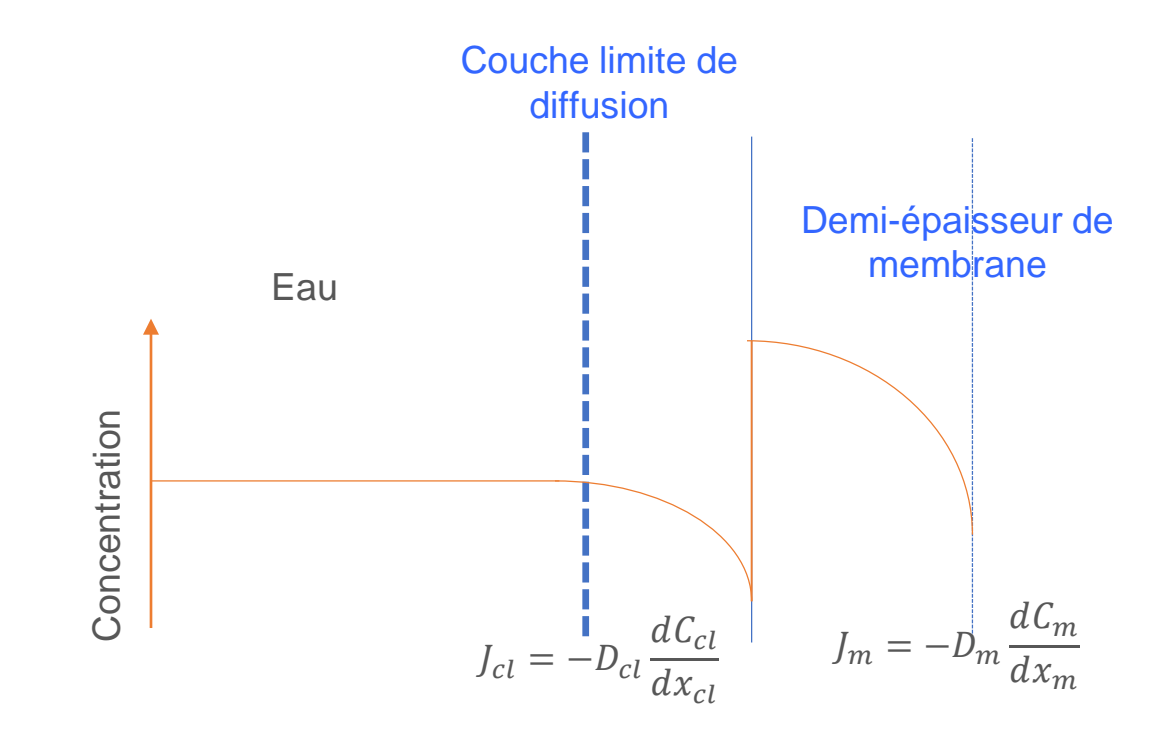
$$\frac{1}{k_o} = \frac{1}{k_w} + \frac{1}{K_{mw}k_m}$$

Où:

 $k_{mw}$  = coefficient de transfert de masse dans la membrane  $k_{w}$  = coefficient de transfert de masse dans la couche limite de diffusion

$$\frac{1}{k_o} = \frac{\delta_w}{D_w} + \frac{\delta_m}{K_{mw}D_m}$$

L'étalonnage de l'échantillonneur consiste à mesurer  $K_{mw}/K_{pw}$  et  $D_m/D_p$ 









- Lorsque la résistance au transfert de masse dans le polymère est non-négligeable
  - → Modélisation et mathématiques compliquées
- Lorsque la résistance au transfert de masse dans le polymère est négligeable
  - Transport à l'extérieur de la membrane (diffusion dans la couche limite..) est prépondérant
  - → Mathématiques relativement plus simples

$$\frac{1}{\kappa_o} = \frac{\delta_w}{D_w} + \frac{\delta_m}{K_{mw} D_m}$$

Quand ce terme est non- négligeable

$$\frac{\delta_w}{D_w} \gg \frac{\delta_m}{K_{mw}D_m}$$

$$\frac{1}{k_o} = \frac{\delta_w}{D_w} + \frac{\delta_m}{K_{mw}D_m}$$
 terme négligeable

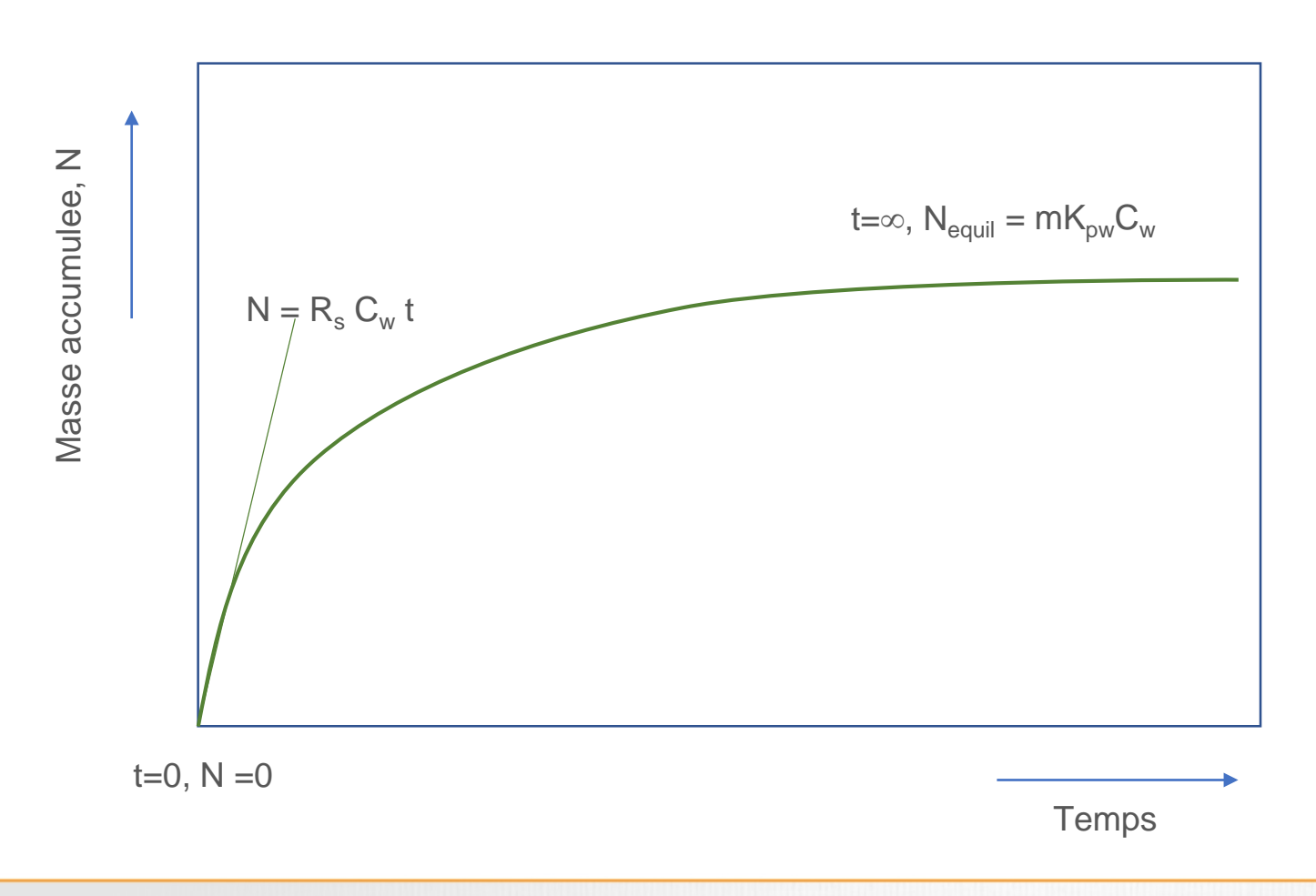








## Accumulation de contaminants dans le temps



Cinétique d'accumulation de 1<sup>er</sup> ordre:

$$N = N_{equil}(1 - \exp(-k_e t))$$

Avec le taux d'accumulation  $R_s$  calculé à partir de  $k_e$  la constante de  $1^{er}$  ordre:

$$R_s = mK_{pw}k_e$$

Où

N = masse de composé accumulée  $N_{equil} = masse$  de composé accumulée à l'équilibre

t = temps

m = masse de l'EIP

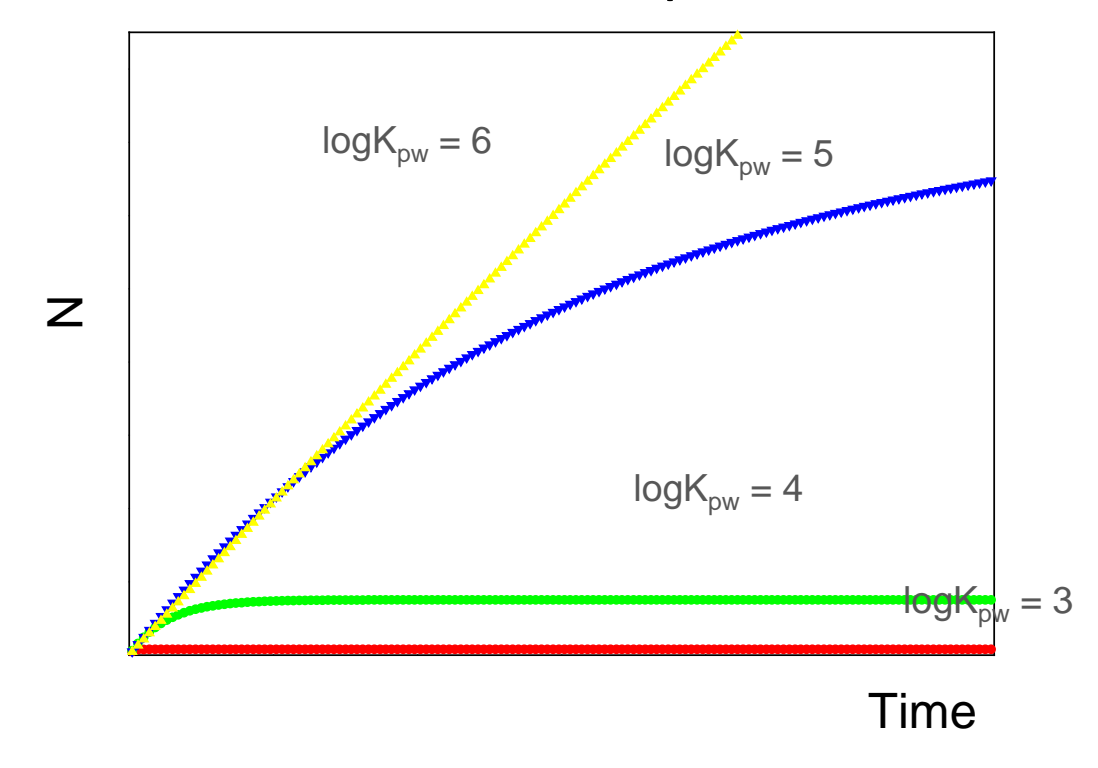








Relation entre accumulation d'un composé dans le temps et valeur du logK<sub>pw</sub> pour une concentration constante du composé dans l'eau



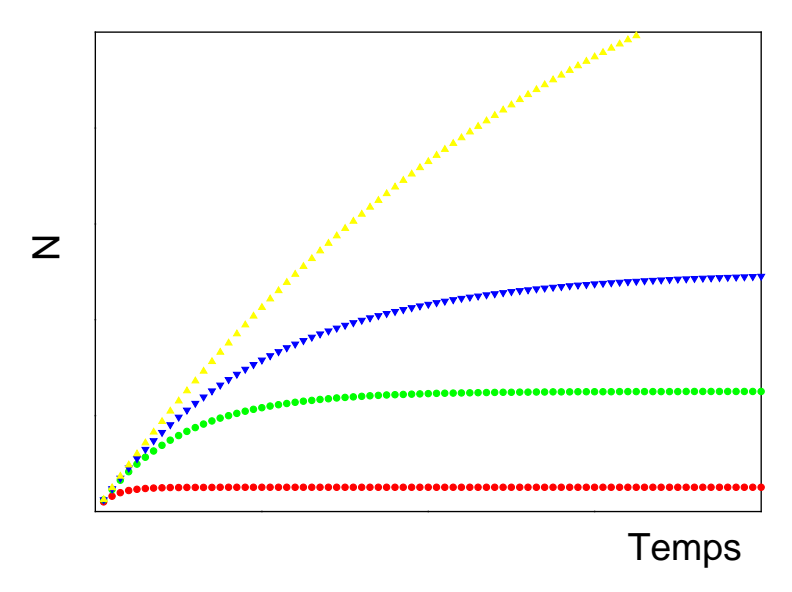
Spécifique à un couple « composé/polymère»

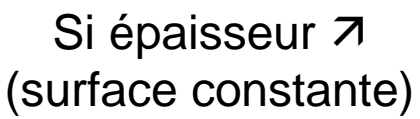




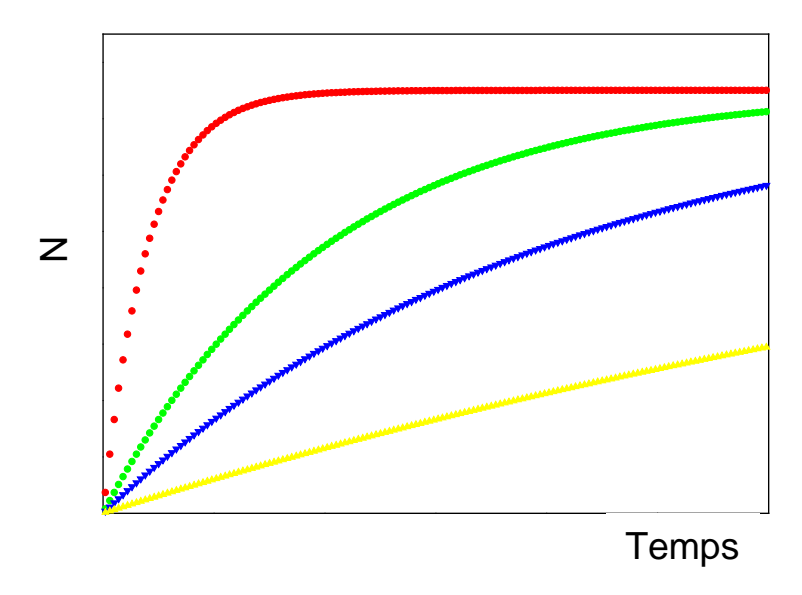


## Influence de la géométrie de la membrane silicone



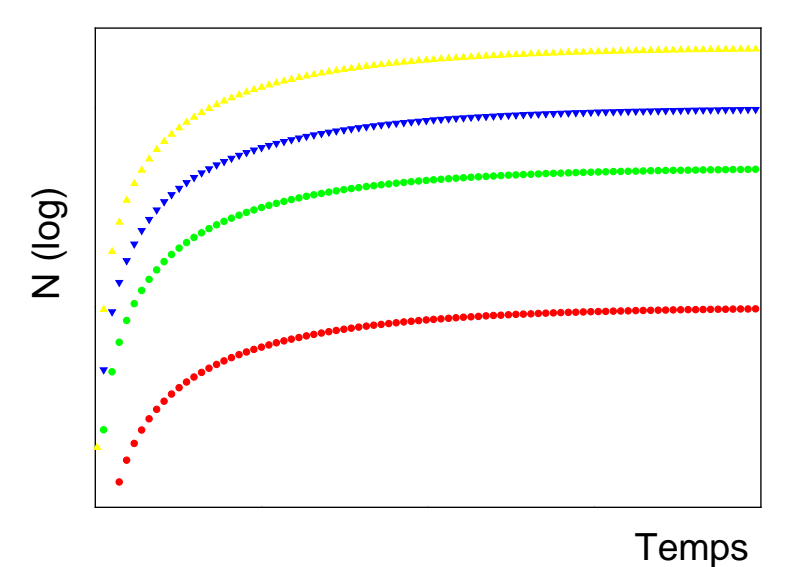


$$R_s = cste$$
 $t_{equil}$  et  $N_{equil}$  7



Si surface 7 (volume constant)

$$R_s 7$$
 $t_{equil} 2$ 
 $N_{equil} = cste$ 



Si surface 7 (ratio masse/surface constant)

$$R_s$$
 et  $N_{equil}$   $\nearrow$   $t_{equil}$  = cste









#### Configuration de la membrane silicone pour l'exercice RSP-EIP



Importance de bien définir le type, la configuration et le format des membranes silicone car les valeurs obtenues sur un outil ne sont pas facilement transférables

AQUAREF a choisi d'utiliser pour l'exercice de démonstration une membrane silicone de Specialty Silicone Products Inc., la SSP-M823

Polydimethylsiloxane (PDMS)



Découpage de bandes de 1m de long, 3 cm de largeur et avec une épaisseur de 250  $\mu$ m pour un poids nominal de 10 g









## L'étalonnage in situ à l'aide des PRC

PRC: Performance Reference Compounds

- Des composés non-présents dans l'environnement, dopés dans les échantillonneurs avant leur déploiement
- Echange isotropique: La dissipation de composés dopés dans les échantillons suit les même processus que l'accumulation des molécules d'intérêt : les cinétiques de dissipation de PRC permettent d'obtenir de l'information sur les cinétiques d'accumulation in situ
- Souvent des isotopes (deutérés ou <sup>13</sup>C) des molécules d'intérêt
- Des molécules suffisamment persistantes pour être certain que leur disparition ne soit liée qu'à l'échange avec l'eau et non à d'autres phénomènes (bio ou photodégradation...)

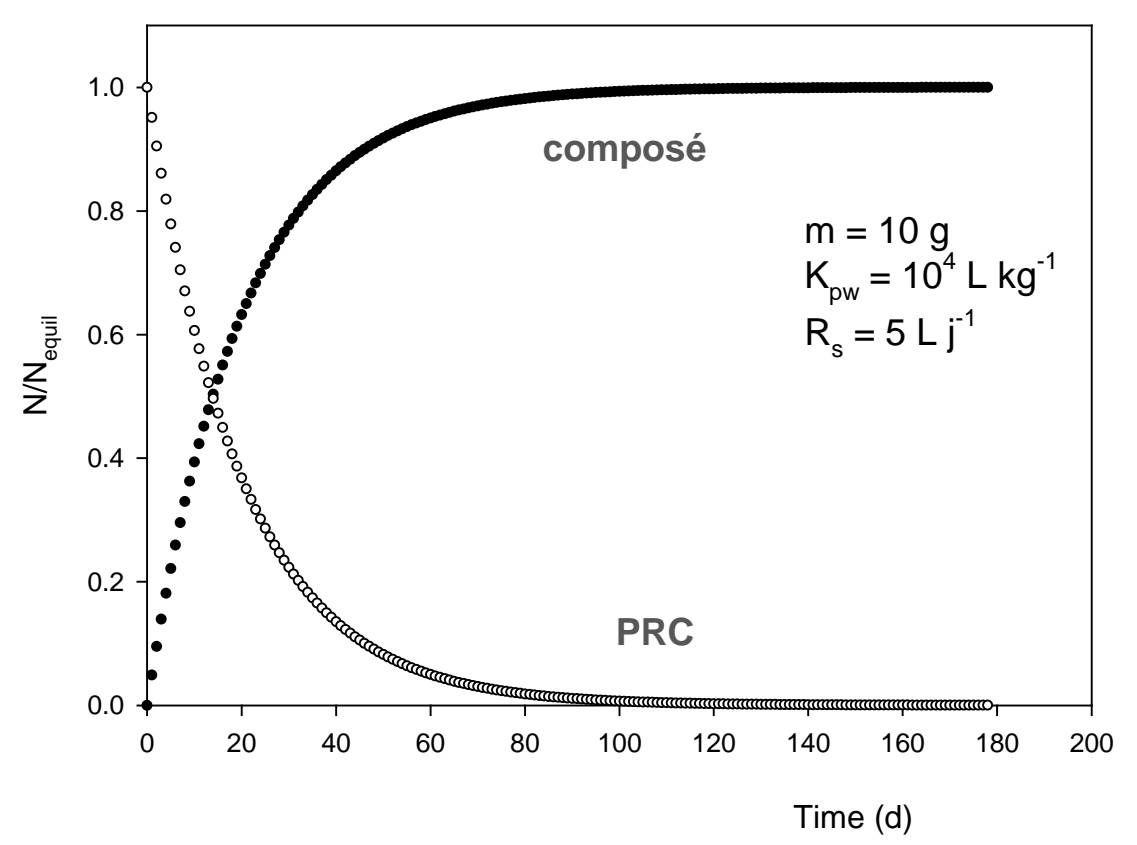












Cas hypothétique où le PRC est l'analogue deutéré de la molécule d'intérêt avec des  $K_{\text{pw}}$  pratiquement identiques

La dissipation du PRC est comparable à l'accumulation de la molécule d'intérêt

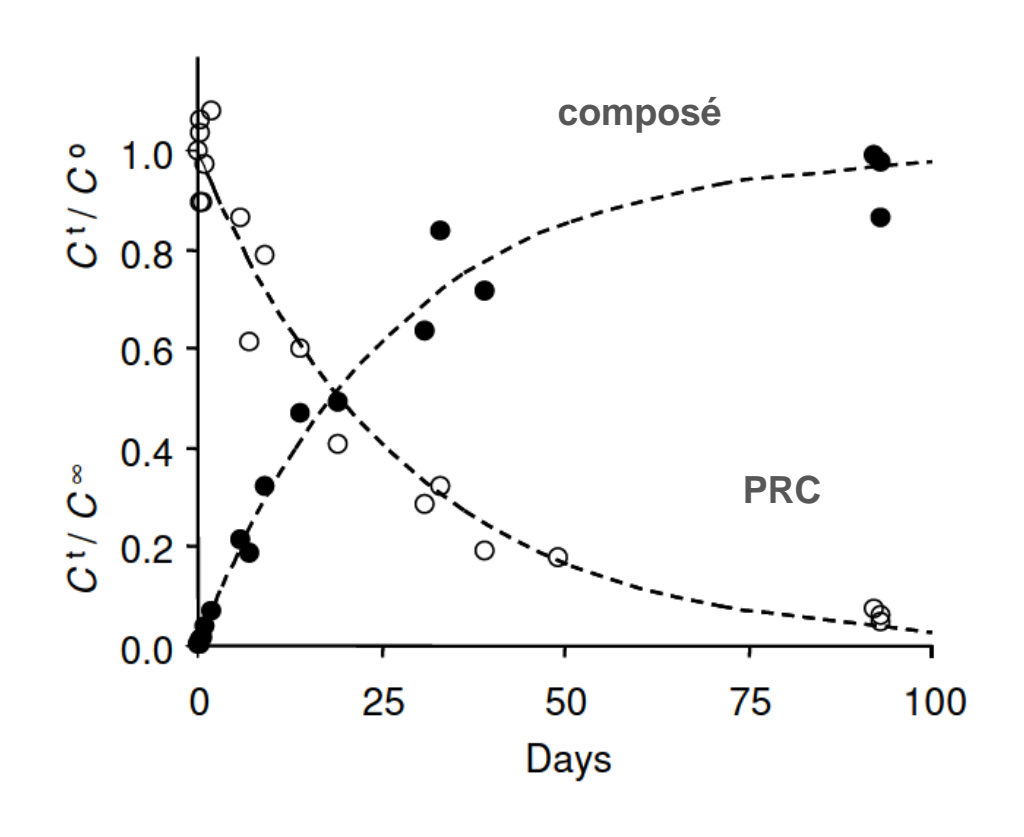
→ Permet d'évaluer le degré d'équilibre atteint lors de l'accumulation











Exemple expérimental pour le chrysène et le chrysène-d<sub>12</sub> lors d'un étalonnage en laboratoire\*

\*Taken from Rusina (2009) Magnifying passive sampling aspects. PhD Thesis





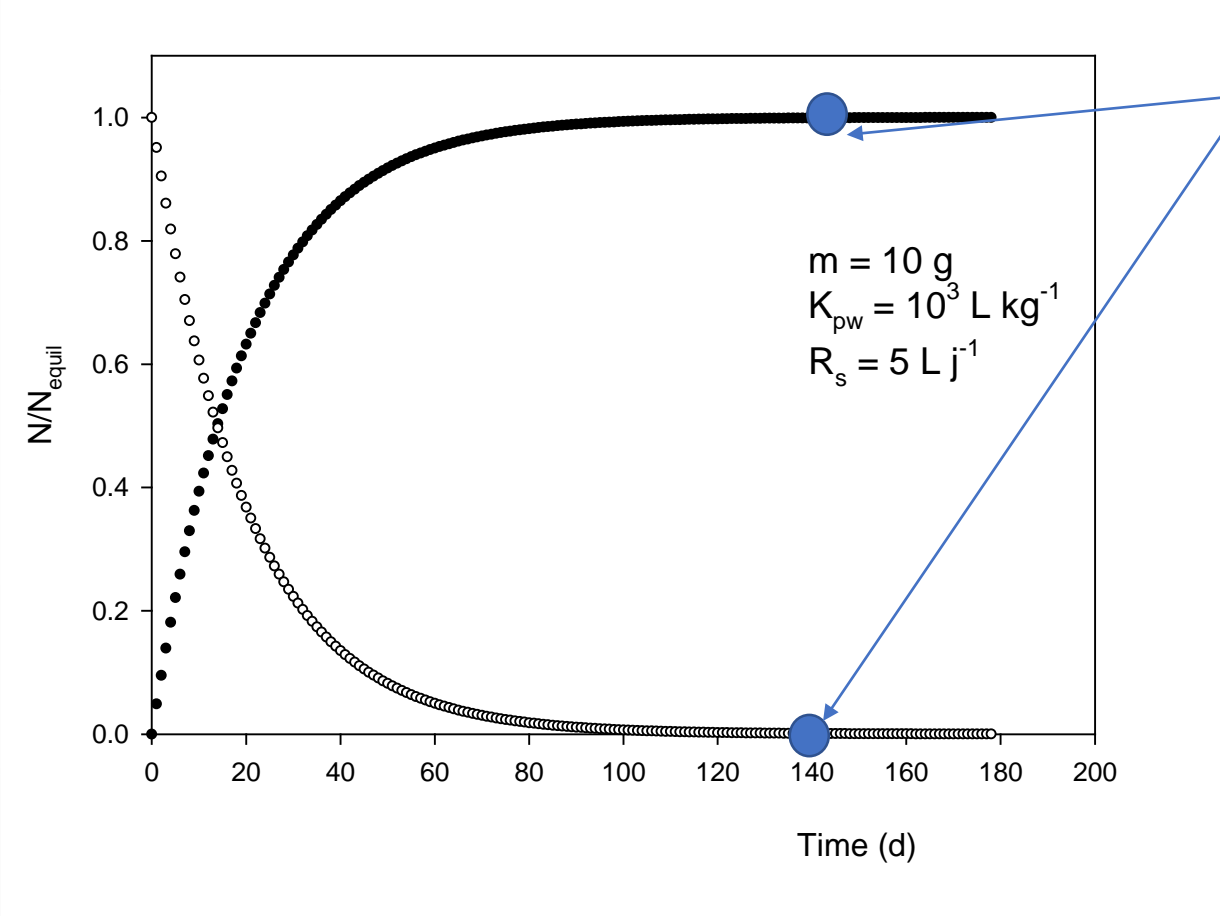








#### Cas hypothétique où le PRC est l'analogue deutéré de notre molécule avec des K<sub>pw</sub> pratiquement identiques Cas « à l'équilibre »



La dissipation (presque) complète du PRC nous indique que nous échantillonnons à l'équilibre

Le calcul d'une concentration moyenne intégrée représentative de la période entière de déploiement n'est pas réalisable

La concentration dans l'eau pour les derniers jours de déploiement peut donc être calculée:

$$C_{w} = \frac{N_{equil}}{mK_{pw}}$$



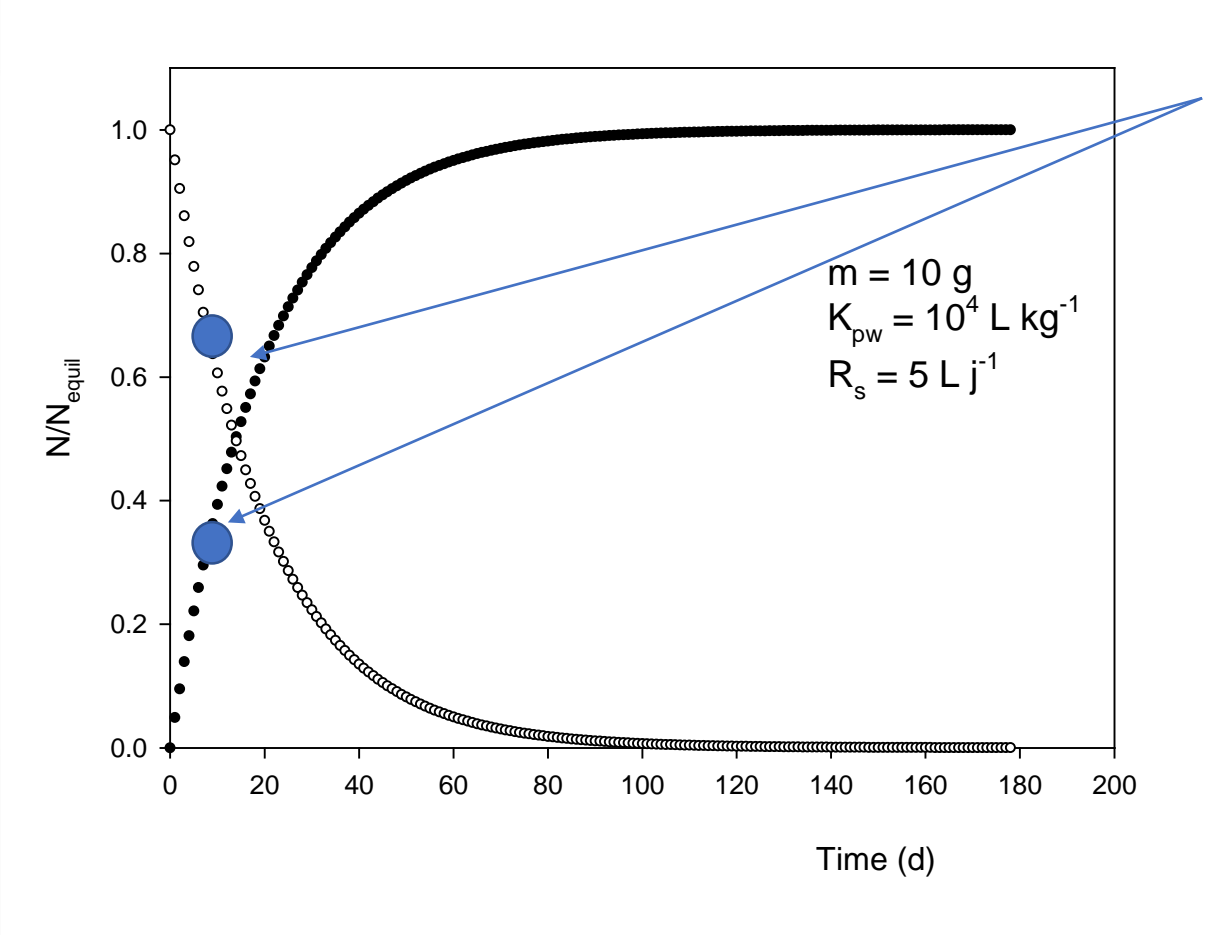








## Cas hypothétique où le PRC est l'analogue deutéré de notre molécule avec des K<sub>pw</sub> pratiquement identiques Cas « dans la zone d'accumulation linéaire »



La dissipation du PRC nous indique que nous échantillonnons de manière linéaire/intégrative:

Calcul de la constante de dissipation (1<sup>er</sup> ordre),  $k_e$ :

$$k_e = -rac{lnrac{N_t}{N_0}}{t}$$

Et le R<sub>s</sub>:

$$R_s = mK_{pw}k_e$$

La concentration « intégrée » dans l'eau peut donc être calculée:

$$C_w = \frac{N_t}{R_s t}$$



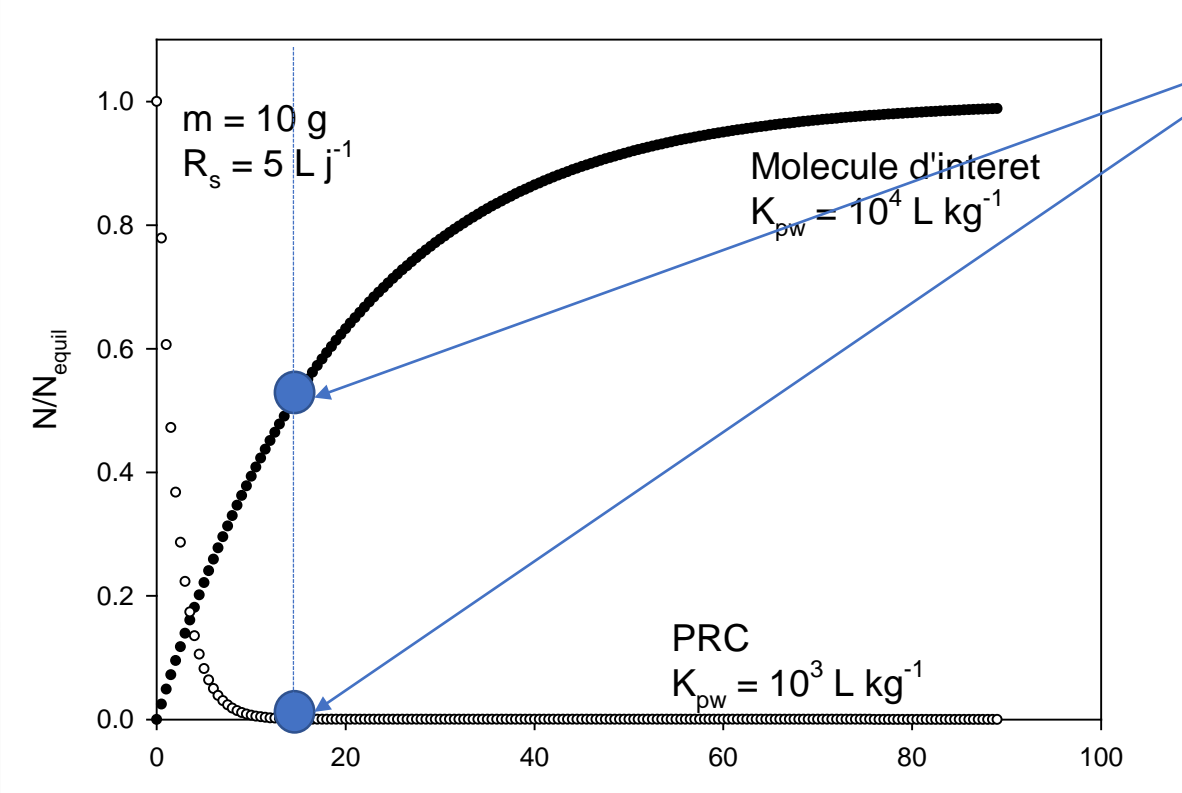






#### Principe de mise en œuvre des PRC

Au-delà de la théorie et du cas simple, le nombre de PRC utilisable est limité → Un PRC adéquat pour chaque substance de l'étude n'est pas forcement disponible Différence de comportement PRC/composé d'intérêt



Time (d)

La dissipation complète du PRC ne nous permet pas de déterminer un  $k_{\rm e}$  alors que l'accumulation de notre molécule d'intérêt n'a pas atteint l'équilibre

Le calcul de concentration dans l'eau en utilisant les données PRC n'est pas possible!





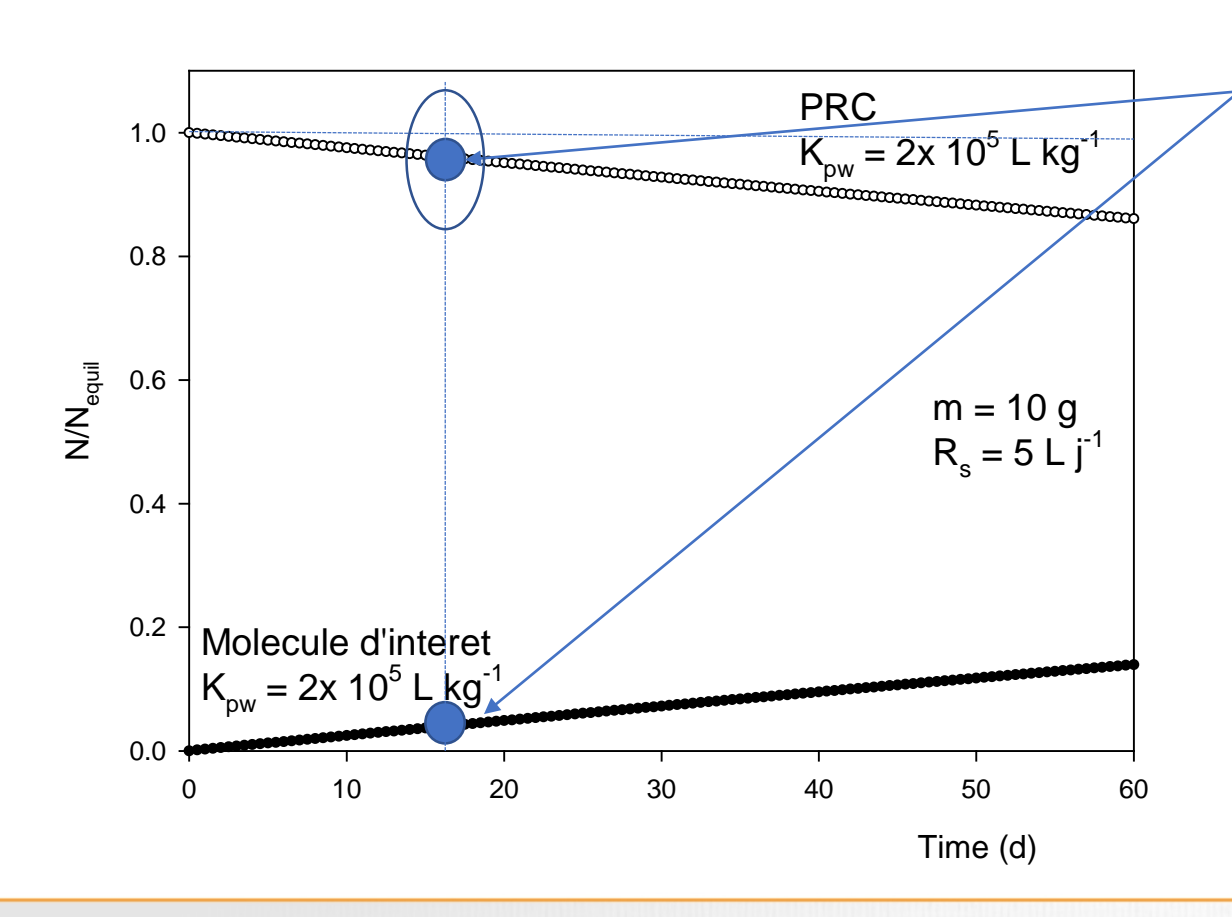






Au-delà de la théorie et du cas simple, le nombre de PRC utilisable est limité (isotopes et coûts) → Un PRC adéquat pour chaque substance de l'étude n'est pas forcement disponible

#### Dissipation trop faible du PRC



Dans le cas d'un composé et de son PRC très hydrophobes et/ou d'une exposition trop courte:

La dissipation minimale du PRC, difficile à distinguer du t= 0 ne permet pas de déterminer un  $k_e$  ou  $R_s$ 

Le calcul de concentration dans l'eau en utilisant les données PRC n'est pas possible!









#### Besoin d'une solution de PRC applicable dans la plupart des cas possibles d'exposition d'EIP

- Expositions variant de quelques jours à plusieurs mois
- Des déploiements dans des eaux calmes (lacs, lagunes) à très agitées (rivières, estuaires...)
  - **⇒** Utilisation de plusieurs PRCs
    - S'étalant sur une gamme d'hydrophobicité assez large
    - Prenant en compte d'autres contraintes: analyses communes (même classe de composés, type PCBs) ...

**➡** Modélisation pour prédire le Rs de molécules n'ayant pas de PRC pertinents

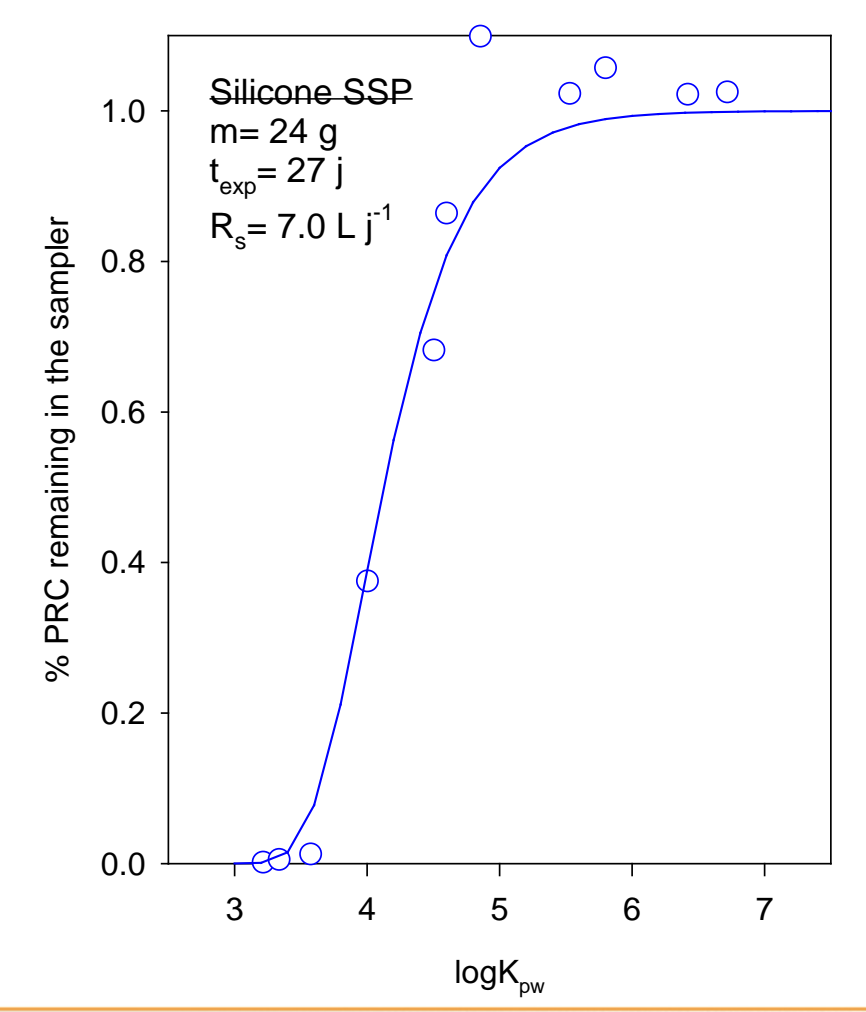
- $R_s = f(log K_{pw})$
- R<sub>s</sub> = f(Poids Moléculaire) ...







Déploiement dans le lagon de Faro (Portugal) PRC: HAP deutérés et fluoroPCB Modèle de Rusina *et al.*, 2010



% perte variable selon les coefficients de partage K<sub>pw</sub>

⇒Intérêt d'utiliser des PRC présentant des propriétés variées et représentatives des composés d'intérêt









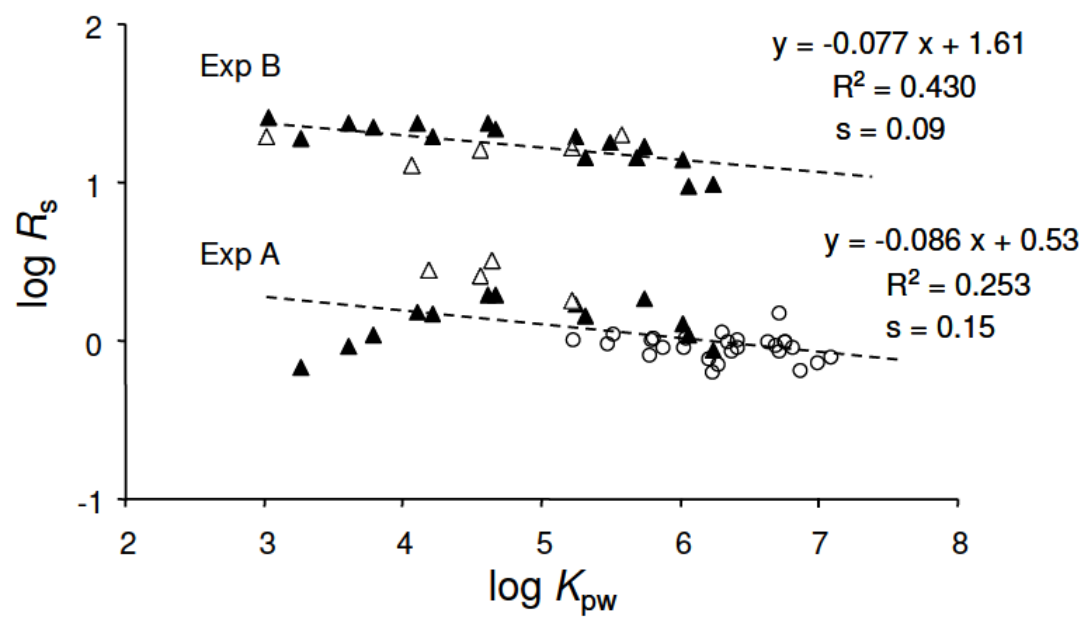


- La modélisation est basée sur des résultats empiriques (étalonnage)
- Ex: Deux étalonnages en réservoir avec deux niveaux de turbulence de l'eau
- Excellente relation entre logk<sub>e</sub> et logK<sub>pw,</sub>: Pente de logR<sub>s</sub>=f(logK<sub>pw</sub>) relativement constante:

$$logR_s = -0.08logK_{pw} + \beta_{sil}$$

Ou 
$$R_s = oldsymbol{eta}_{sil} K_{pw}^{-0.08}$$

Avec  $\beta_{\text{sil,}}$  une constante spécifique à chaque déploiement à ajuster grâce aux PRCs



**Figure 5.4** Plot of log  $R_s$  versus log  $K_{pw}$  for the experiments A and B. Filled triangles are PAHs, open triangles are deuterated PAHs used as PRCs and open circles are PCBs.

Modèle de Rusina et al., 2010



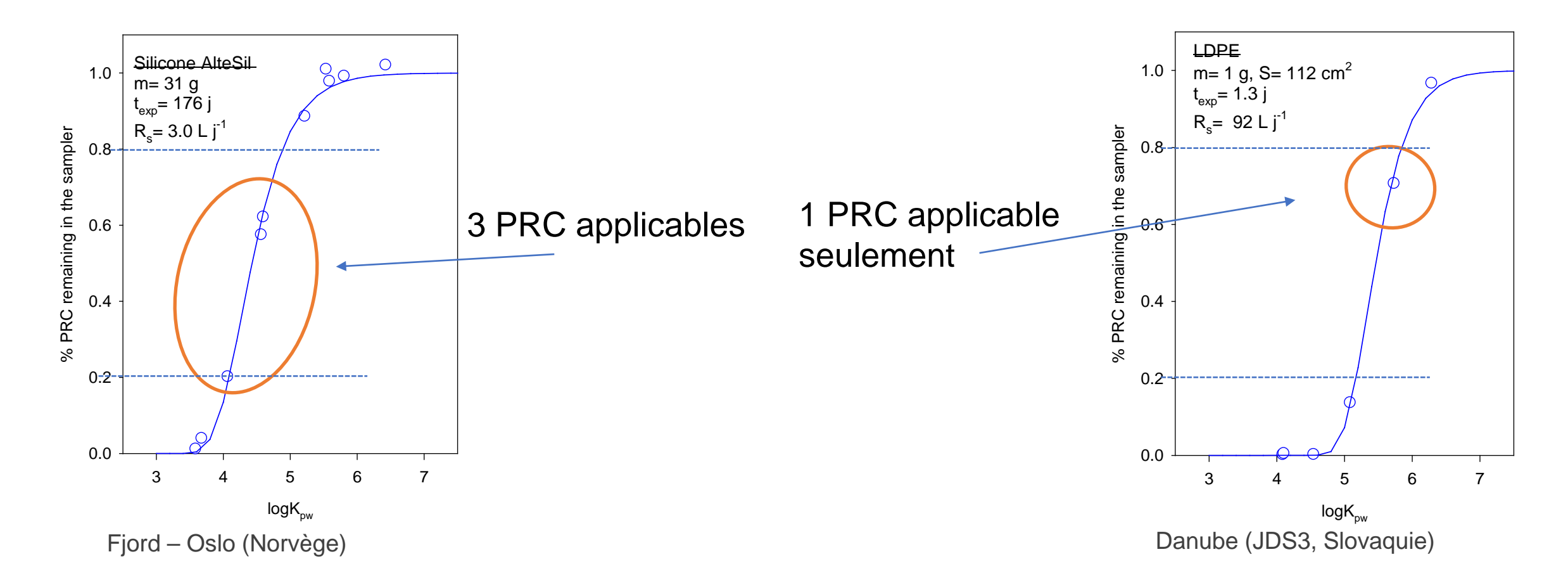






## Comment prendre en compte l'information basée sur l'utilisation de plusieurs PRC?

Arbitrairement, la méthode « 20:80 »: prise en compte de tous les PRCs avec une dissipation comprise entre 20 et 80 % de No















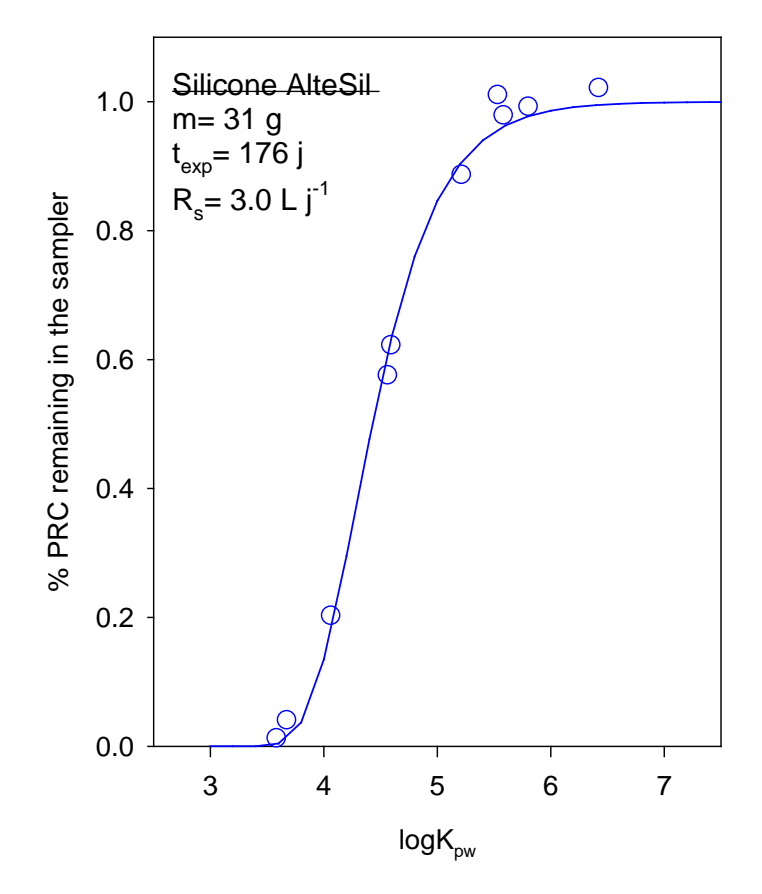
## La méthode «NLS»\* (Nonlinear Least-Square method)

- Approche qui s'applique à toutes les situations de dissipation de PRC et qui utilise donc toutes les données de dissipation
- La fraction de PRC retenue dans l'échantillonneur après exposition, f, est une fonction continue de R<sub>s</sub>:
- Le Rs est lui-même lié au paramètre ajustable  $\beta_{sil}$ :

$$f = \frac{N_t}{N_0} = \exp(-\frac{R_s t}{m K_{pw}})$$

On utilise ensuite Excel, sigmaplot, R etc... pour déterminer  $\beta_{\text{sil}}$  afin d'ajuster la courbe de dissipation aux données terrain PRC

$$R_s = \beta_{sil} K_{pw}^{-0.08}$$



\*Booij and Smedes, 2010











## Exemple d'application du modèle « NLS »

#### Rivière Drammen (Norvège)

Silicone AlteSil™ Surface = 1000 cm² Masse de l'EIP = 35 g 70 jours de déploiement

PRC	logK <sub>pw</sub>	<b>f</b> retained
ACE-d10	3.58	0.19
FLUE-d10	3.67	0.38
PHE-d10	4.06	0.69
FLUOR-d10	4.56	0.87
CHRY-d12	5.21	0.94
BeP-d12	5.58	0.97

Composés	logK <sub>pw</sub>	n <sub>ACC</sub> (ng)
Fluoranthène	4.62	280
BaP	5.69	140
НСВ	5.06	12.0
CB52	5.80	1.8





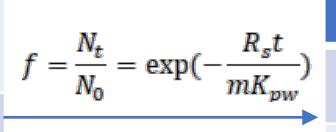


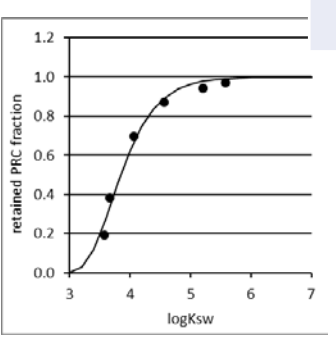


## Exemple d'application du modèle « NLS »

- Application de la NLS avec Excel (add-on Solver)
- Calcul de  $\beta_{sil}$  et  $R_s$  spécifiques à cet EIP et à ce déploiement

PRC	logK <sub>pw</sub>	F <sub>retenue</sub>
ACE-d10	3.58	0.19
FLUE-d10	3.67	0.38
PHE-d10	4.06	0.69
FLUOR-d10	4.56	0.87
CHRY-d12	5.21	0.94
BeP-d12	5.58	0.97





Paramètres optimisés	Valeur	Erreur standard	
estimated βsil	5.0	+/- 0.23	$R_s = \beta_{sil} K_{pw}^{-0.08}$
Rs at logKpw=5	2.0	+/- 0.09	

Composés	logK <sub>pw</sub>	R <sub>s</sub> (L/j)
Fluoranthene	4.62	2.13
BaP	5.69	1.75
НСВ	5.06	1.97
CB52	5.80	1.71









## Exemple d'application du modèle « NLS »

Tous les éléments sont alors réunis pour le calcul de la concentration dans l'eau

Composés	logK <sub>pw</sub>	R <sub>s</sub> (L/j)	n <sub>ACC</sub> (ng)
Fluoranthène	4.62	2.13	280
BaP	5.69	1.75	140
НСВ	5.06	1.97	12.0
CB52	5.80	1.71	1.8

c _	$n_{acc}$
$C_w =$	$K_{pw}m(1-e^{\frac{-R_{S}t}{K_{pw}m}})$

Composés	C <sub>w</sub> (ng/L)
Fluoranthène	2.0
BaP	1.1
НСВ	0.089
CB52	0.015

Ex pour le fluoranthène:

$$c_w = \frac{280}{0.035 \times 10^{4.62} \times (1 - \exp(\frac{-2.13 \times 70}{10^{4.62} \times 0.035})} = 2.0 \text{ ng/L}$$









#### A considérer:

- L'analyse
  - → Ne pas multiplier le nombre d'analyses inutiles et ne pas impacter les analyses existantes
- Les caractéristiques des composés et leur résistance à la dégradation
  - → Les pertes doivent absolument être liées aux échanges avec l'eau et non un résultat de bio ou photo dégradation
- La connaissance des coefficients de partage polymère-eau, K<sub>pw</sub>
- Des PRC dans une gamme de logK<sub>pw</sub> permettant le calcul dans tous les cas de déploiement
- Exemples de suites de PRCs:
  - RECETOX/Quasimeme: PCBs 1,2, 3, 10, 14, 30, 50, 55, 78, 104, 145 et 204
  - I NIVA entre autres: acenaphtène- $d_{10}$ , fluorène- $d_{10}$ , phenanthrène- $d_{10}$ , fluoranthène- $d_{10}$ , chrysène- $d_{12}$ , benzo[e]pyrène- $d_{12}$ , fluoroPCB 3, 28, 52, 105 et 156







## L'applicabilité aux substances prioritaires de la DCE (MAJ 2018)

Substance	logK <sub>ow</sub>	Disponibilité de K <sub>pw</sub> *	Applicabilité	Substance	logK <sub>ow</sub>	Disponibilité de K <sub>pw</sub> *	Applicabilité
Alachlore	3.37	n	Р	Hexachlorocyclohexane	3.21	0	R
Chlorfenvinphos	4.15	n	Р	Nonylphénols	5.99	0	Р
Chlorpyrifos	4.66	n	Р	Pentachlorobenzène	5.18	0	R
Di(2-ethylhexyl)phthalate	7.45	0	Р	Benzo[b]fluoranthène	6.11	0	R
Fluoranthène	5.16	0	R	Benzo[k]fluoranthène	6.11	0	R
Naphthalène	3.3	0	R	Benzo[ghi]perylène	6.22	0	R
Octylphénols	5.28	n	Р	Indéno[1,2,3-cd]pyrène	6.87	0	R
Trichlorobenzènes	4.13	0	Р	Benzo[a]pyrène	6.13	0	R
Trifluraline	5.31	n	Р	Aldrine	6.5	n	P
Anthracène	4.45	0	R	Dieldrine	4.55	n	P
PBDE28	5.88	n	R	Endrine	4.55	n	r D
PBDE47	6.77	n	R	Isodrine	4.33 6.75		P
PBDE99	7.66	n	R			n	•
PBDE100	7.66	n	R	p,p'-DDT	6.91	0	R
PBDE153	8.55	n	R	o,p'-DDT	6.91	0	R
PBDE154	8.55	n	R	p,p'-DDD	6.22	0	R
C10-13-chloroalcanes	5	n	P	p,p'-DDE	6.96	0	R
Endosulfan	3.5	n	Р	Tributylétain	4.7	0	Р
Hexachlorobenzène	5.73	0	R	Dicofol	4.3	n	Р
Hexachlorobutadiène	4.72	0	R	Quinoxyfène	4.7	n	Р
Tiexacinorobatadiene	7.72	J	11	Dioxines	5-9	n	Р
				PCBs	5.8	0	R

Légende:

H ST 2 STEEL



## Les essais inter laboratoires QUASIMEME (2014-

#### Exercice « Passive sampling development » DE-13:

- Membranes silicone à extraire et analyser pour des composés d'intérêt et des PRC
- Exercice de calcul de concentration à partir de données de base de membranes silicone

Table 3 Ranked Z scores for all determinands with assigned values

Exercise No.		3 Round	2015_2
Group	DE13	Year	2015
Total Number of lak	oratories		13

Labcode	NObs	Possible	Labcode	NObs	Actual %
	Z <2	%  Z <2		Submitted	%  Z <2
Q131	35	85	Q131	36	97
Q3782	35	85	Q758	33	97
Q980_A	34	83	Q3782	37	95
Q3318	34	83	Q980_A	36	94
Q980_B	33	80	Q104	32	94
Q758	32	78	Q980_B	36	92
Q104	30	73	Q3795	28	86
Q979	27	66	Q3318	41	83
Q114	24	59	Q114	32	75
Q153	24	59	Q979	36	75
Q3795	24	59	Q153	38	63
Q3792_B	14	34	Q3792_B	31	45
Q3792_A	12	29	Q3792_A	27	44

Matrix/	Assigned	Units	Total	NObs	NObs	Median	Basis	Skewness	Model	Model	Model
Determinand	Value	OTILO	Error%	Numerical	LCV	Value	for	ORCWII033	mean	Between	percentage
Determinand	value		Ellol 70	Hamenea	201	value	AV		mean	Lab CV%	in PMF1
Exposed PS							711			Lab O v /o	
hexachlorobutadiene	26.5	ng/g		4	2	26.5	NDA	1.14	25.79	6.98	44.6
hexachlorobenzene	7.09	ng/g	25.2	9	2	6.77	NDA	0.79	7.088	51.5	53.9
PCB 28	4.81	ng/g	25.3	13	0	4.13	NDA	0.23	4.810	79.9	83.9
PCB 52	9.44	ng/g	25.2	13	0	10.9	NDA	1.37	9.444	41.3	63.8
PCB 101	8.57	ng/g	25.2	13	0	8.97	NDA	1.75	8.570	26.2	63.5
PCB 118	3.06	ng/g	25.5	12	0	3.24	NDA	2.05	3.056	33.8	72.5
PCB 138	4.47	ng/g	25.3	13	0	4.63	NDA	2.38	4.465	30.5	70.5
PCB 153	4.08	ng/g	25.4	12	0	4.21	NDA	1.65	4.084	45.3	72.6
PCB 180	0.91	ng/g	26.7	11	1	0.93	NDA	1.58	0.906	40.8	70.6
acenaphthene	16.3	ng/g	25.3	11	2	16.9	NDA	0.55	16.30	23.8	69.1
acenaphthylene	3.16	ng/g	26.6	12	0	3.00	NDA	0.83	3.157	35.6	73.7
fluorene	8.41	ng/g	25.6	11	2	8.17	NDA	2.36	8.410	35.2	58.5
phenanthrene	23.3	ng/g	25.2	13	0	22.8	NDA	-1.29	23.33	17.2	67.8
anthracene	6.45	ng/g	25.8	13	0	6.24	NDA	0.72	6.451	56.2	77.6
fluoranthene	101	ng/g	25.0	13	0	99.1	NDA	-0.97	100.8	18.0	70.0
pyrene	107	ng/g	25.0	13	0	102	NDA	-0.97	107.0	11.3	59.7
benzo[a]anthracene	48.7	ng/g	25.1	12	0	48.1	NDA	-0.73	48.69	8.78	63.8
chrysene	31.9	ng/g	25.2	7	0	32.2	NDA	1.46	31.88	3.24	55.6
chrysene + triphenylene	64.2	ng/g	25.0	6	0	62.7	NDA	-0.07	64.24	10.5	77.7
benzo[b]fluoranthene	25.7	ng/g	25.1	7	0	24.9	NDA	0.17	25.70	50.5	84.0
benzo[k]fluoranthene	10.5	ng/g	25.2	7	0	9.50	NDA	0.23	10.54	36.6	78.9
benzo[b]+[j]fluoranthene	31.8	ng/g	25.1	4	0	31.8	NDA	0.06	31.83	24.5	80.0
benzo[b]+[k]fluoranthene		ng/g		2	0						
benzo[b]+[j]+[k]fluoranthene	32.6	ng/g	25.1	8	0	33.7	NDA	0.31	32.59	43.9	82.3
benzo[a]pyrene	10.6	ng/g	25.2	12	0	10.7	NDA	-0.34	10.57	10.9	59.7
benzo[ghi]perylene	4.27	ng/g	25.6	12	1	4.41	NDA	-0.68	4.269	27.5	71.0
indeno[1,2,3-cd]pyrene	3.06	ng/g	25.8	13	0	3.02	NDA	-0.26	3.056	32.6	86.9
dibenzo[a,h]anthracene	1.52	ng/g	26.6	11	2	1.59	NDA	0.65	1.523	29.0	53.8
BDE 28	0.08	ng/g	31.1	9	1	0.09	NDA	1.70	0.082	35.6	65.9
BDE 47	0.70	ng/g	25.7	11	0	0.71	NDA	1.67	0.699	8.01	60.6
BDE 99	0.24	ng/g	27.1	11	0	0.25	NDA	0.77	0.236	16.4	57.0
BDE 100	0.11	ng/g	29.7	10	1	0.11	NDA	1.51	0.107	26.6	64.0
BDE 153	0.95	ng/g	25.5	9	2	1.02	NDA	1.27	0.953	18.4	46.7
BDE 154	0.02	ng/g	54.1	5	3	0.02	NDA	1.48	0.017	11.0	70.0













# Calcul – Outil DGT (Diffusive Gradient in Thin films)







#### Mesure « Labo »

- En lien avec la phase « analytique » autour de l'outil DGT.
- paramètres Prise en compte des permettant de donner une masse dans l'outil.
- Volume élution, volume résine, dilution, facteur d'élution.

Masse métal = ng/outil

#### Calcul «Pilote/entrepreneur principal»

- Permet de passer d'une masse piégée à une concentration dans le milieu.
- Prise en compte des paramètres contrôlant la masse piégée dans l'outil.
- Epaisseur du gel diffusif/filtre, temps d'exposition dans le milieu, surface d'échange de l'outil, température du milieu (coefficient de diffusion)

**Concentration intégrée dans le milieu=** 





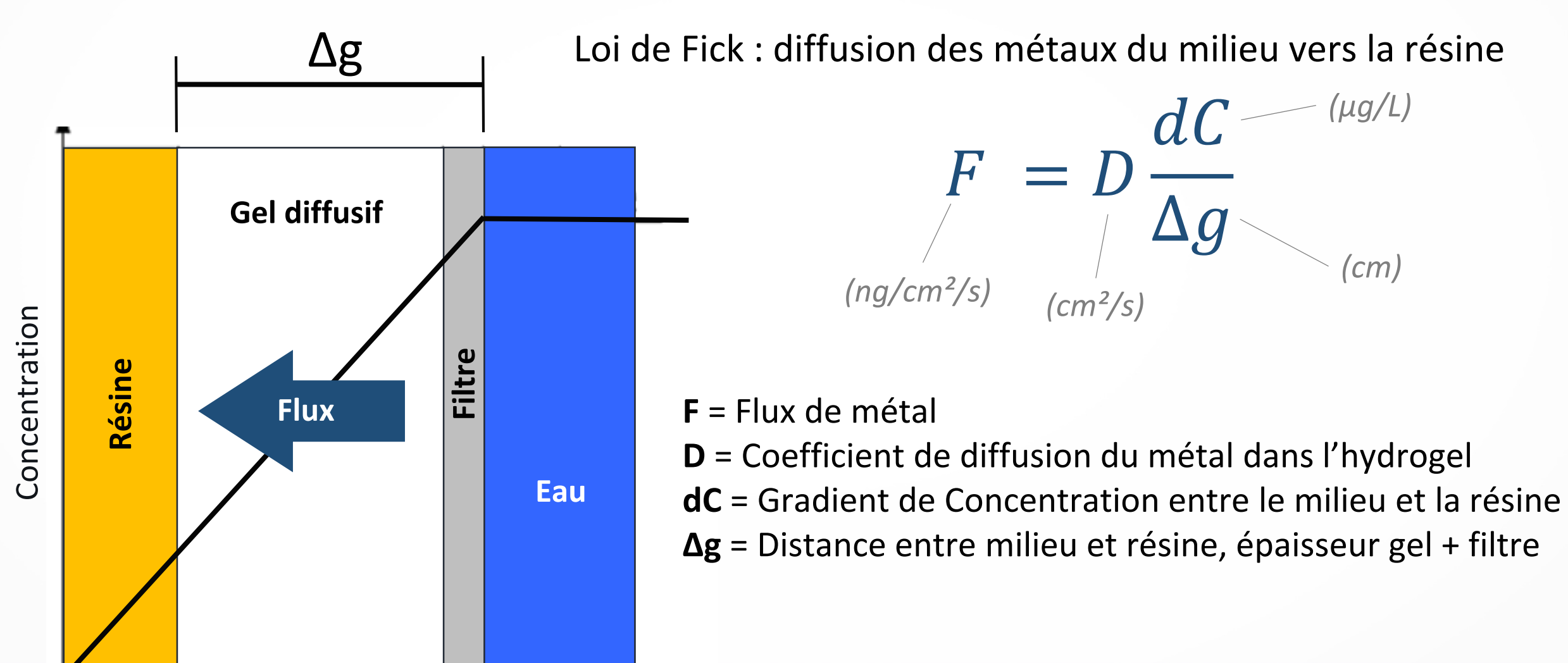






Distance

#### Principe DGT : piégeage des métaux









#### Détermination de la concentration dans le milieu

Si la résine n'est pas saturée, on considère que la concentration de la résine est un puit : concentration est « nulle »

$$F = D \frac{dC}{\Delta g}$$

$$(ng/cm^{2}/s)$$

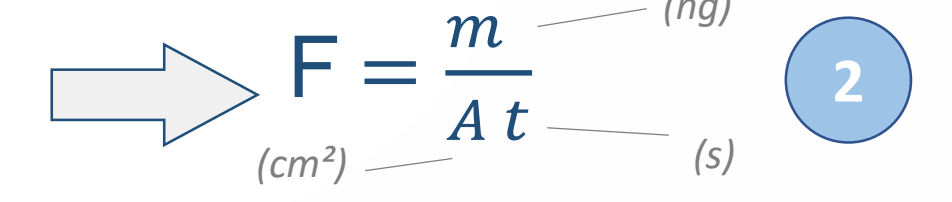
$$(cm^{2}/s)$$

$$(cm^{2}/s)$$

Concentration dans le milieu est donc égale à :

$$C = \frac{F \cdot \Delta g}{D}$$

Aussi, le flux est égal à un flux d'une quantité de métal à travers une surface et pour un temps donné :



**C** = concentration en métal dans le milieu

F = Flux de métal

**D** = Coefficient de diffusion du métal dans l'hydrogel

 $\Delta g$  = Distance entre milieu et résine, épaisseur gel + filtre

m = masse de métal piégé par la résine

A = surface d'échange de la DGT

**t** = temps d'exposition



$$C = \frac{m \Delta g}{D A t}$$



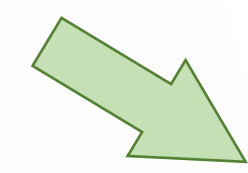
#### Détermination de la concentration dans le milieu



Mesure « Labo »

**Calcul «Pilote/entrepreneur principal»** 





#### Déterminé de façon analytique :

- Volume d'élution + volume résine
- Facteur d'élution
- Dilution avant analyse

$$\mathsf{m} = \frac{C_{\text{\'eluat}} \ \text{dilution.} (Volume \ \text{\'elution} + volume \ \text{\'esine})}{Facteur \ \text{\'elution}}$$



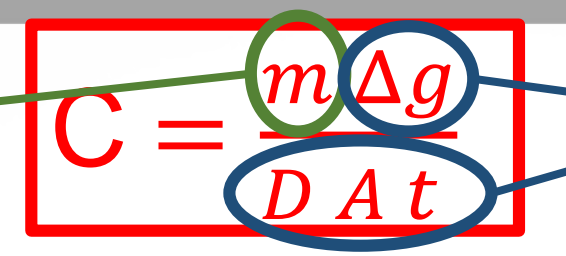






#### Détermination de la concentration dans le milieu





<u>Calcul</u>

«Pilote/entrepreneur principal»

Informations relatives à l'outil utilisé et aux conditions d'exposition :

#### Données relatives à l'outil

- Epaisseur du gel diffusif + filtre (Δg) : indiquée sur les boites (~0,90 mm)
- Surface d'échange de l'outil (A): standard, égale à 3,14 cm²

#### Données relatives à l'exposition de l'outil

- Temps d'exposition (t): **7 à 14 jours, 604800 à 1 209 600 secondes**
- Coefficient de diffusion du métal (D) : dépendant de la **température du milieu** d'exposition (idéalement moyenne enregistrée lors de la période de déploiement)









#### Abaque température/coefficient de diffusion

Diffusion Coefficients in the standard DGT gel (agerose crosslinked polyscrylamide, APA) from 1 to 35°C (calculated using the equations provided below). Multiply the number by 10°6 to one 2°C (calculated using the equations provided below).

T°C	Ag	Al	AsV	Cd	Co	CrIII	CrVI	Cu	Fe	Hg?	Mn
1	6.58	2.22	2.57	2.84	2.77	2.36	3.97	2.91	2.85	3.73	2.73
2	6.83	2.30	2.66	2.95	2.88	2.45	4.12	3.02	2.96	3.87	2.83
3	7.09	2.39	2.76	3.06	2.98	2.54	4.27	3.13	3.07	4.02	2.94
4	7.35	2.48	2.87	3.17	3.09	2.63	4.43	3.25	3.18	4.17	3.05
5	7.62	2.56	2.97	3.29	3.21	2.73	4.59	3.36	3.30	4.32	3.16
6	7.89	2.66	3.08	3.41	3.32	2.82	4.75	3.48	3.42	4.47	3.27
7	8.17	2.75	3.18	3.53	3.44	2.92	4.92	3.61	3.54	4.63	3.39
8	8.45	2.85	3.30	3.65	3.56	3.02	5.09	3.73	3.66	4.79	3.50
9	8.74	2.94	3.41	3.77	3.68	3.13	5.27	3.86	3.78	4.96	3.62
10	9.04	3.04	3.52	3.90	3.80	3.23	5.44	3.99	3.91	5.12	3.75
11	9.34	3.14	3.64	4.03	3.93	3.34	5.62	4.12	4.04	5.29	3.87
12	9.64	3.25	3.76	4.16	4.06	3.45	5.81	4.26	4.17	5.47	4.00
13	9.95	3.35	3.88	4.30	4.19	3.56	6.00	4.39	4.31	5.64	4.13
14	10.27	3.46	4.00	4.43	4.32	3.67	6.19	4.53	4.45	5.82	4.26
15	10.59	3.57	4.13	4.57	4.46	3.79	6.38	4.67	4.58	6.00	4.39
16	10.92	3.68	4.26	4.71	4.60	3.91	6.58	4.82	4.73	6.19	4.53
17	11.25	3.79	4.39	4.86	4.74	4.03	6.78	4.97	4.87	6.38	4.66
18	11.59	3.90	4.52	5.00	4.88	4.15	6.98	5.12	5.02	6.57	4.80
19	11.93	4.02	4.65	5.15	5.02	4.27	7.19	5.27	5.17	6.76	4.95
20	12.28	4.14	4.79	5.30	5.17	4.39	7.40	5.42	5.32	6.96	5.09
21	.2.64	4.26	4.93	5.46	5.32	4.52	7.61	5.58	5.47	7.16	5.24
22	3.00	4.38	5.07	5.61	5.47	4.65	7.83	5.74	5.63	7.37	5.39
23	2.26	1.50	5.24	6.77	F 62	4.70	0.05	5.00	5.70	7.50	5.54
24	13.73	4.63	5.35	5.93	5.78	4.91	8.28	6.06	5.95	7.79	5.69
25	14.11	4.75	5.50	6.09	5.94	5.05	8.50	6.23	6.11	8.00	5.85

# Coefficient de diffusion (cm²/s) pour T°C donnée

Données obtenues en laboratoire en conditions contrôlées :

- cinétiques d'accumulation
- cellule de diffusion

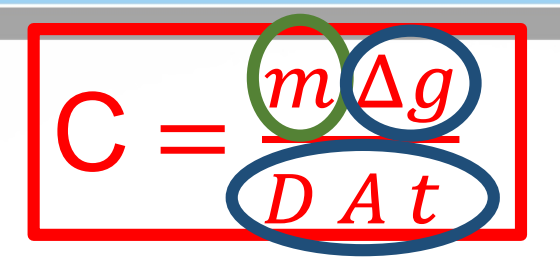








#### **Etape finale : utilisation des unités correctes**



$$C = \frac{100 \, ng \cdot 0,090 \, cm}{5.10^{-6} \cdot cm^2/s.3,14 \, cm^2 \cdot 604800 \, s}$$

$$C = \frac{100 \, ng \cdot 0,090 \, cm}{5.10^{-6} \cdot cm^2/s \cdot 3,14 \, cm^2 \cdot 604800 \, s}$$

$$C = \frac{ng \cdot cm}{cm^4} = ng/cm^3 = ng/mL = \mu g/L$$









# Calcul – Outil POCIS (Polar Organic **Chemical Integrative Sampler )**

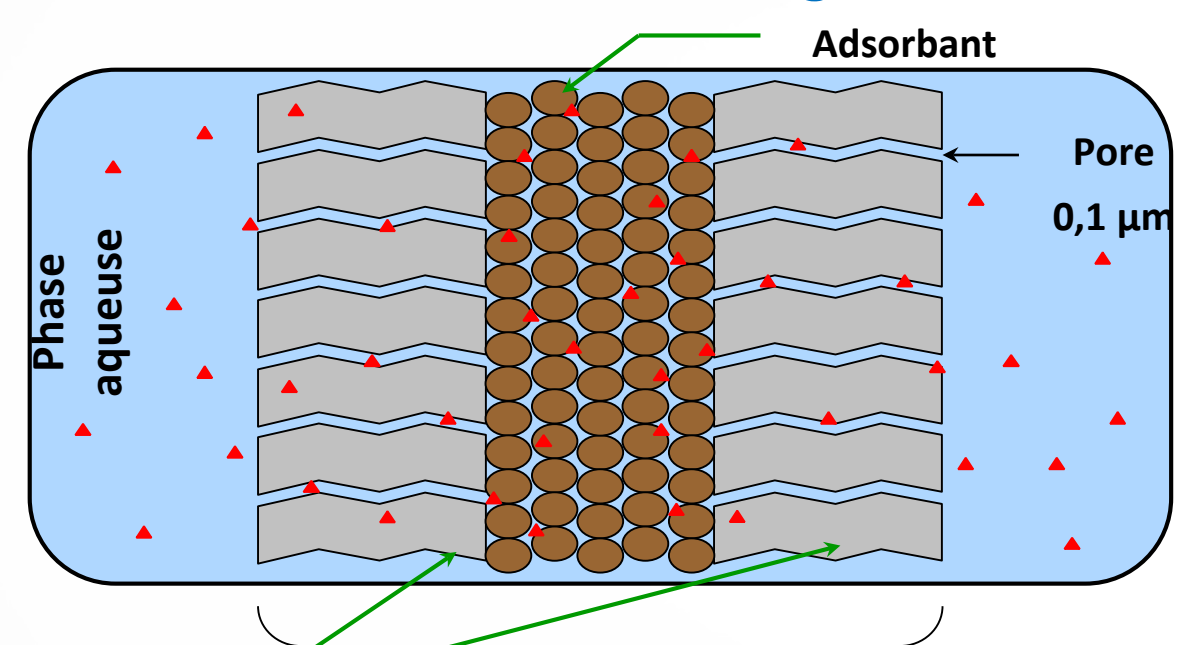






#### Des EIP pour les micropolluants organiques hydrophiles

#### **Polar Organic Chemical Integrative Sampler (POCIS)**

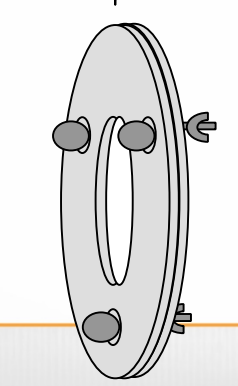


Développé par US Geological Survey

**Membranes** 

Épaisseur ~ 130 μm

Taille de pores ~ 0,1 μm



Utilisés dans les programmes de surveillance par US E.P.A et en Europe (GB,...)

Alvarez et al., ETC (2004)





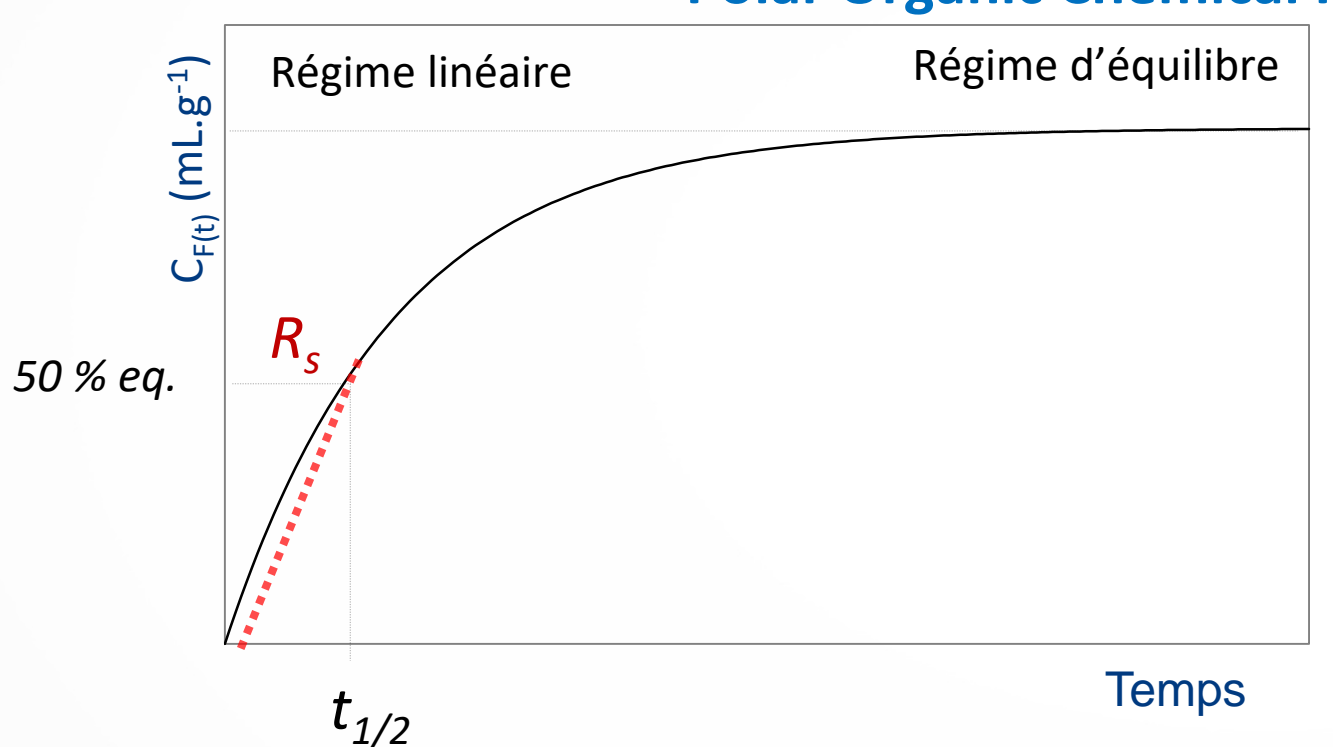


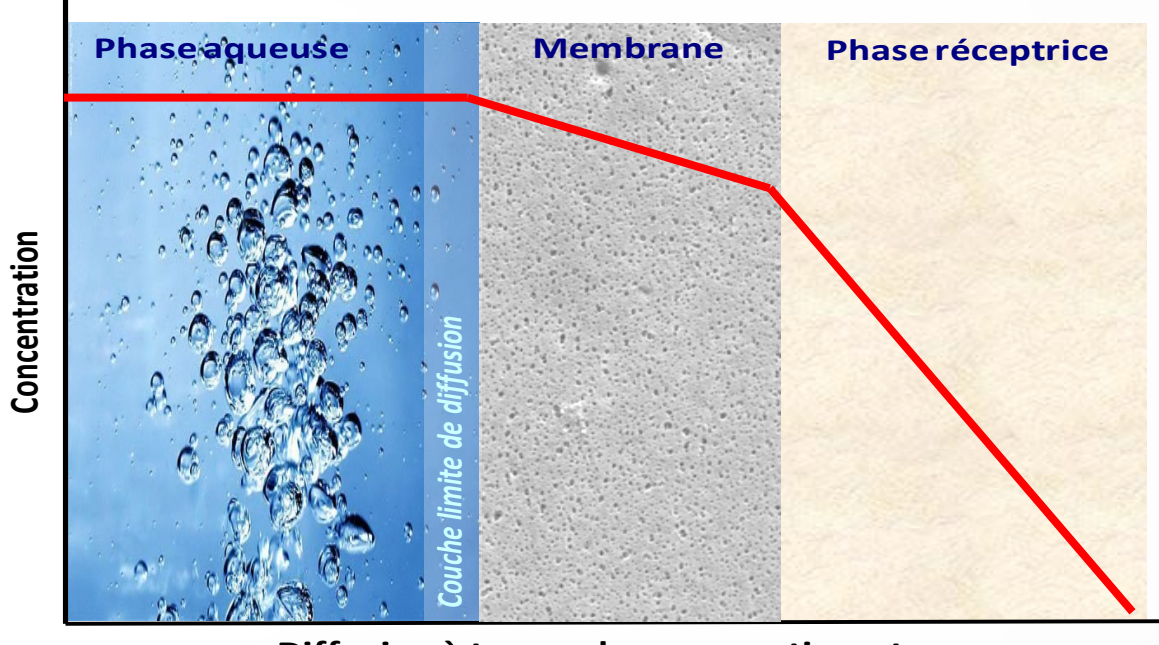




# AQUAREF Des EIP pour les micropolluants organiques hydrophiles

#### **Polar Organic Chemical Integrative Sampler (POCIS)**





Diffusion à travers les compartiments

$$N_{s(t)} = C_{eau} \cdot R_s \cdot t$$
  $C_{eau}$  concentration dissoute dans  $R_s$  taux d'échantillonnage (mL.j-1)

 $\mathbf{C}_{\mathsf{eau}}$  concentration dissoute dans l'eau









# Les effets du milieu (conditions d'exposition)

#### **POCIS**

Application 1ère loi de Fick sous condition d'accumulation linéaire



#### $R_s = f(hydrodynamisme, T^{\circ}C)$

Utilisation de  $R_s$  obligatoirement déterminés préalablement en laboratoire Méthodologies pour corriger l'hydrodynamisme à perfectionner

#### Facteurs physico-chimiques :

- Matières en suspension
- Matière organique
- Force ionique
- pH
- Photodégradation : peu étudiée mais peut affecter les composés accumulés dans les EIP sur la durée d'exposition

#### > Facteurs physiques :

- Vitesse de circulation de l'eau/hydrodynamisme
- Température
- Biofouling





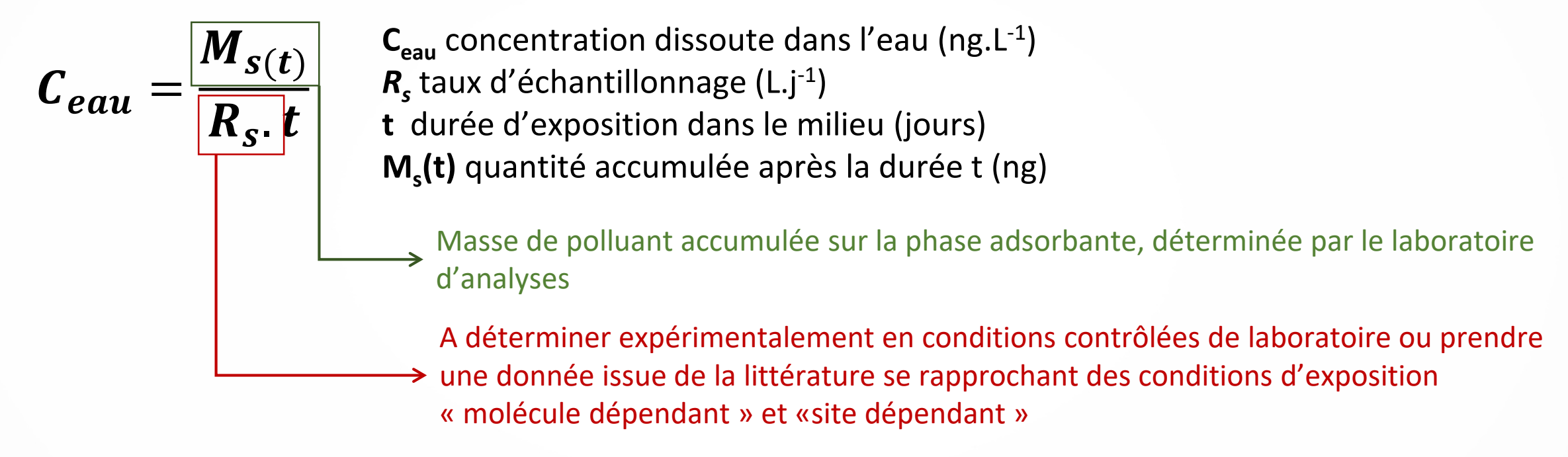








### Calcul des concentrations dans la phase dissoute



- Nécessité d'avoir les informations sur les conditions d'exposition : pas utilisées pour le calcul mais permettent de choisir le Rs:
  - Conditions hydrodynamiques (vitesse, courant ....)
  - Température











données d'étalonnage. Aquaref-Irstea 40p

## Les différents systèmes utilisés pour l'étalonnage

Consortium								
Consortium scientifique BRGM, IFREMER, INERIS, Irstea et LNE	Méthodes d'étalonnage	Conditions à contrôler/mesurer	Remarques					
	Système fermé		Volumes larges (50 L minimum) à ajuster en fonction du taux d'échantillonnage et le nombre de POCIS immergés. Les analytes doivent être stables (peu adsorbables/dégradables).					
	Système fermé avec renouvèlement de l'eau		Les faibles volumes sont envisageables (bécher de 3 à 5 L avec 1 POCIS par bécher) mais les renouvèlements doivent être quotidiens dans ce cas.  Le seul suivi des concentrations dans l'eau, puis la déduction des R <sub>s</sub> , ne sont pas recommandés. Un dosage des analytes accumulés dans l'adsorbant est nécessaire.					
Référence : Mazzella N., C. Berho, V. Fauvelle,			Système indispensable pour les composés peu stables et/ou fortement adsorbables (e.g. insecticides organochlorés, certains organophosphorés,). L'emploi de larges volumes (50 L minimum) et le débit d'introduction des analytes, soit le taux de renouvèlement quotidien du volume total, doivent être à ajuster en fonction du taux d'échantillonnage et le nombre de POCIS immergés, ainsi que la durée de demi-vie (perte par adsorption, hydrolyse, évaporation) des					
Etalonnage des échantillonneurs passifs d polaires. Essai d'intercomparaison et recommo	analytes.							







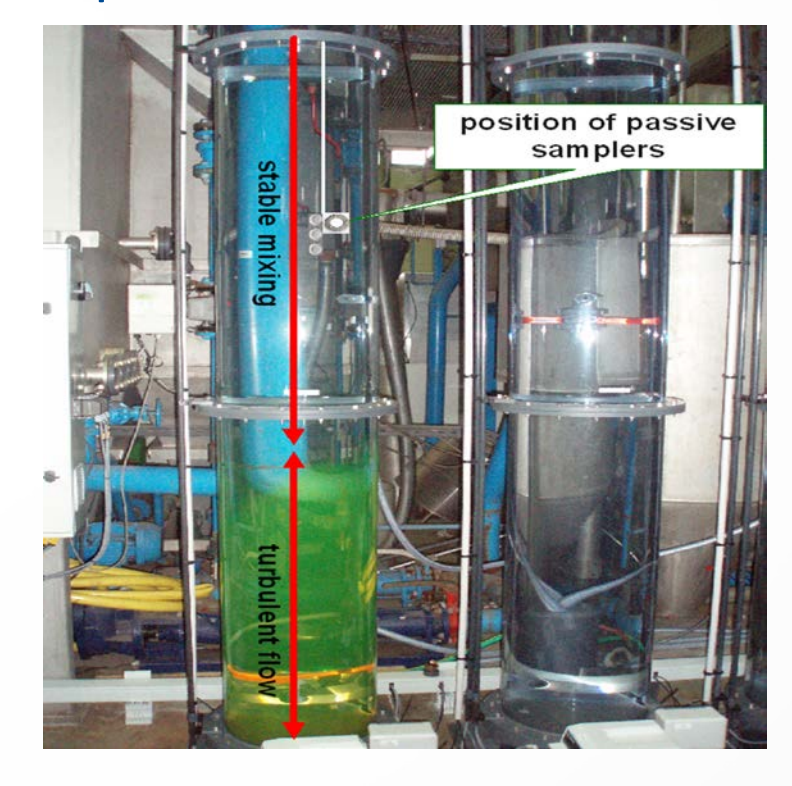




### **Etalonnage en conditions "Eau souterraine"**

Principe d'une très faible circulation des eaux (de l'ordre du m/j) Difficulté de reproduire en laboratoire ces conditions : exemple de pilote

- Vitesse testée 1 et 4m/j sans grande différence
- $\triangleright$  Délai d'atteinte de l'équilibre très longue  $T_{1/2} > 30 j$
- > Conditions de température en ESO stable ! (12-15°C en métropole)
- Expérimentation à 20-22°C
- $\triangleright$  Impact de la température  $\Rightarrow$  déjà étudié : peu impactant pour qq °C de variabilité



Projet ANR ORIGAMI, Berho et al











# **ELEMENTS DE CONCLUSION**









- Complexité des calculs à mettre en œuvre pour certains outils
  - SR > POCIS > DGT
- Le retour d'expérience de l'exercice de démonstration AQUAREF permettra de préciser et éventuellement simplifier certaines méthodes de calculs
- Réflexion sur la mise à disposition à venir par AQUAREF d'outils de calcul automatisés et validés et de tables/abaque de constantes pour les calculs (K<sub>pw</sub> pour SR, Fe pour DGT, Rs pour POCIS)



